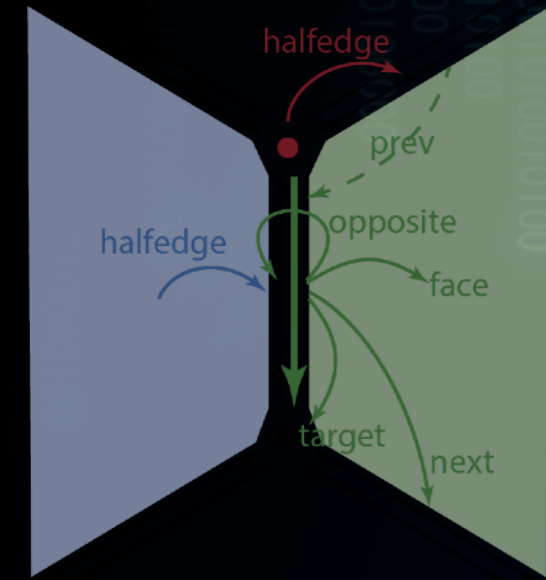


# MODELISATION GEOMETRIQUE



Alexandra Bac

POLYTECH 4A INFORMATIQUE **REVA**

## 4 - COURBES ET SURFACES PARAMÉTRIQUES

Certaines illustrations sont issues du livre « polygon mesh processing »

# « MODÉLISATION GÉOMÉTRIQUE » - MODÈLES PARAMÉTRIQUES

Chapitre 2

MAILLAGES



Chapitre 3

GÉOMÉTRIE DES SURFACES



Chapitre 1

MODÉLISATION DES SURFACES

Chapitre 4 (+ 5A)

SURFACES PARAMÉTRIQUES

↓

$$f: \mathbb{R}^2 \rightarrow \mathbb{R}^3$$
$$(u, v) \mapsto f(u, v) \in \mathbb{R}^3$$

↑  
paramétrique  
modèle

$$(z = a_1 x^2 + \dots)$$

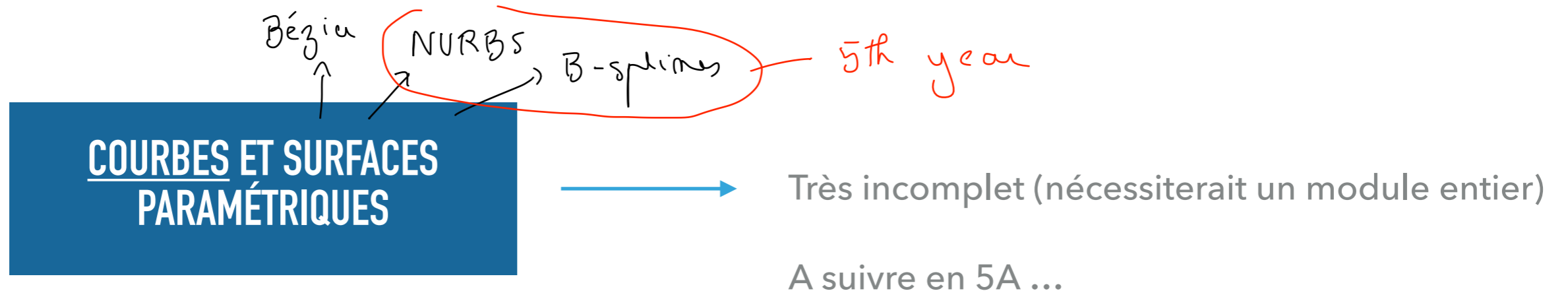
Chapitre 5

~~SURFACES  
IMPLICITES~~

→ 5th year

# « MODÉLISATION GÉOMÉTRIQUE » - MODÈLES PARAMÉTRIQUES

---



Commençons par les courbes

- Plus simple
- Base des modèles de surfaces (produit tensoriel)

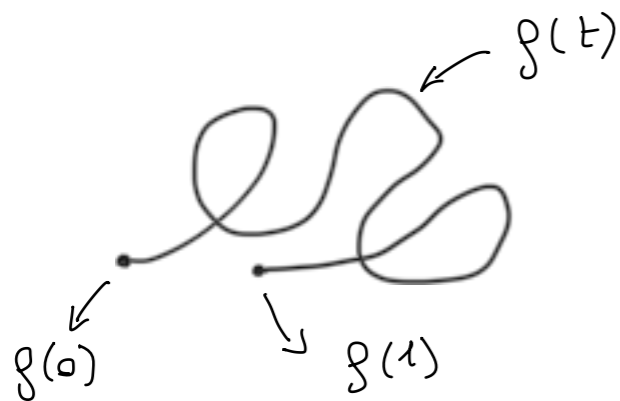
# COURBES PARAMÉTRIQUES

|      |         |   |
|------|---------|---|
| 5.56 | +740.21 | - |
| 3.24 | +122.56 | - |
| 9.62 | +140.04 | - |
| .36  | +180.98 | - |
| .56  | +740.21 | - |
| .24  | +122.56 | - |
| .62  | +140.04 | - |
| .36  | +180.98 | - |
| .56  | +740.21 | - |
| .24  | +122.56 | - |

# GÉNÉRALITÉS

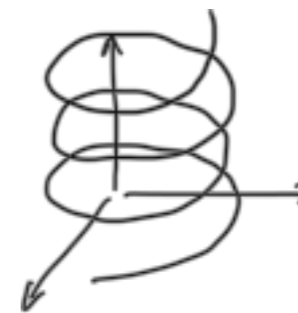
## COURBES PLANES

Courbes dans  $\mathbb{R}^2$



## COURBES GAUCHES

Courbes dans  $\mathbb{R}^3$



## REPRÉSENTATION PARAMÉTRIQUE

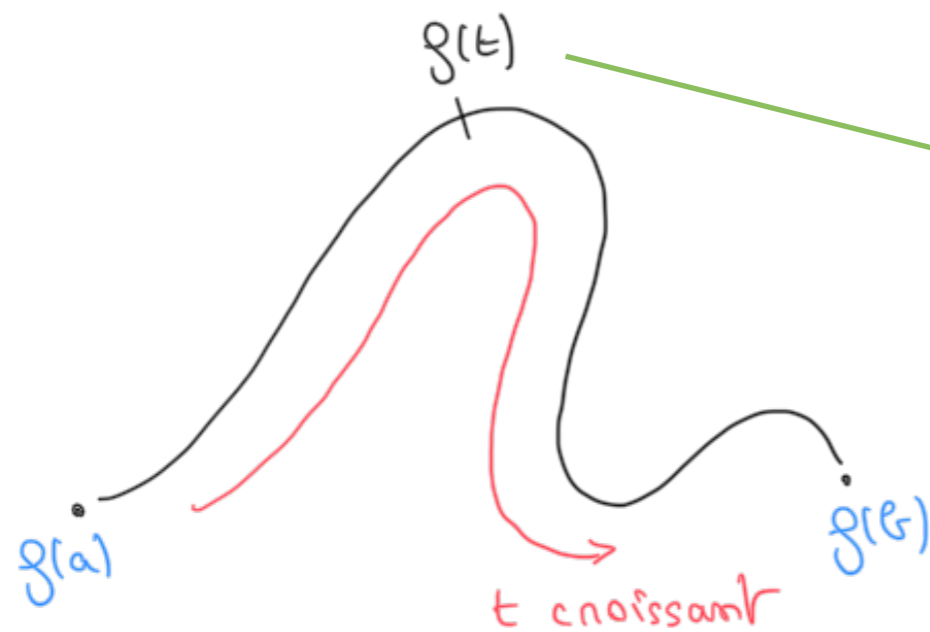
$$f : \mathbb{R} \rightarrow \mathbb{R}^2 \\ t \mapsto g(t) \in \mathbb{R}^2$$

$$f : \mathbb{R} \rightarrow \mathbb{R}^3$$

## COURBES

Courbe finie :

$$f : [a, b] \subseteq \mathbb{R} \rightarrow \mathbb{R}^2 \text{ (ou } \mathbb{R}^3)$$



$f(t) \in \mathbb{R}^2$  donc :

$$f(t) = \begin{pmatrix} f_1(t) \\ f_2(t) \end{pmatrix}$$

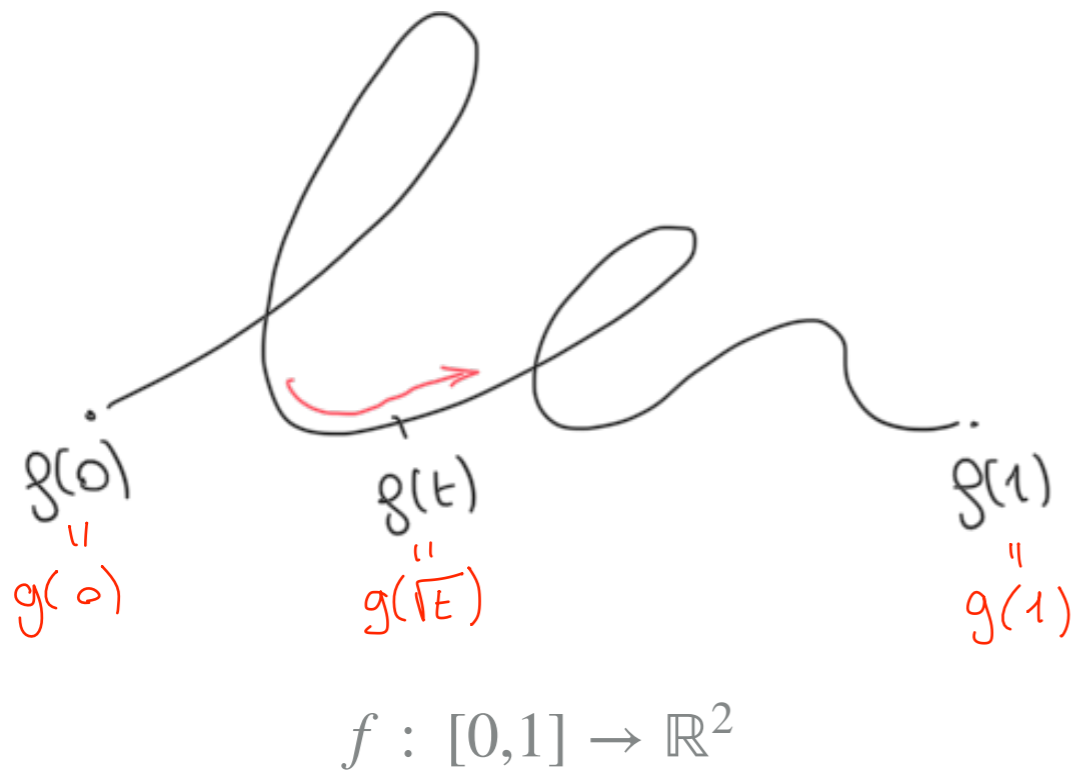


$$f_1, f_2 : \mathbb{R} \rightarrow \mathbb{R}$$

# QUESTION DE LA PARAMÉTRISATION

Courbe  $\leftrightarrow$  modèle paramétrique  $f : \mathbb{R} \rightarrow \mathbb{R}^k$

unique ?



On pose  $g(t) = f(t^2)$

▸ Quelle est la courbe décrite ?

↳ same curve ...  
↳ different speeds  
along the  
curve.

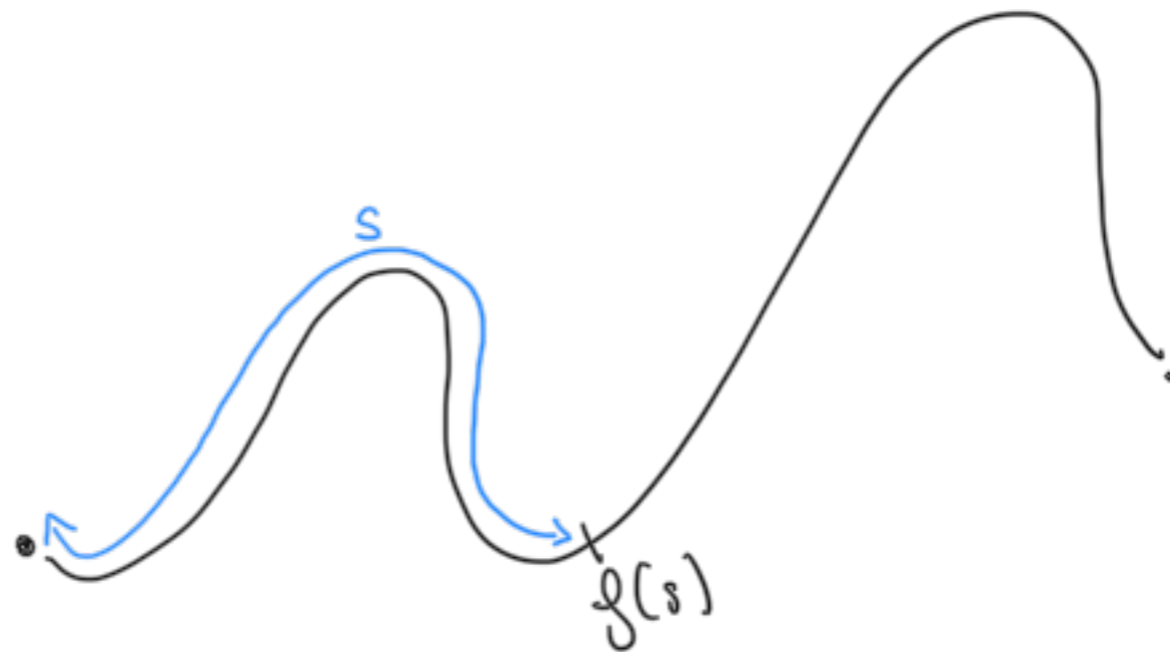
$g(0) = f(0)$   
 $g(1) = f(1)$



# PARAMÉTRISATION NORMALE

Pour toute courbe, il existe une paramétrisation selon laquelle la courbe est parcourue à vitesse constante :

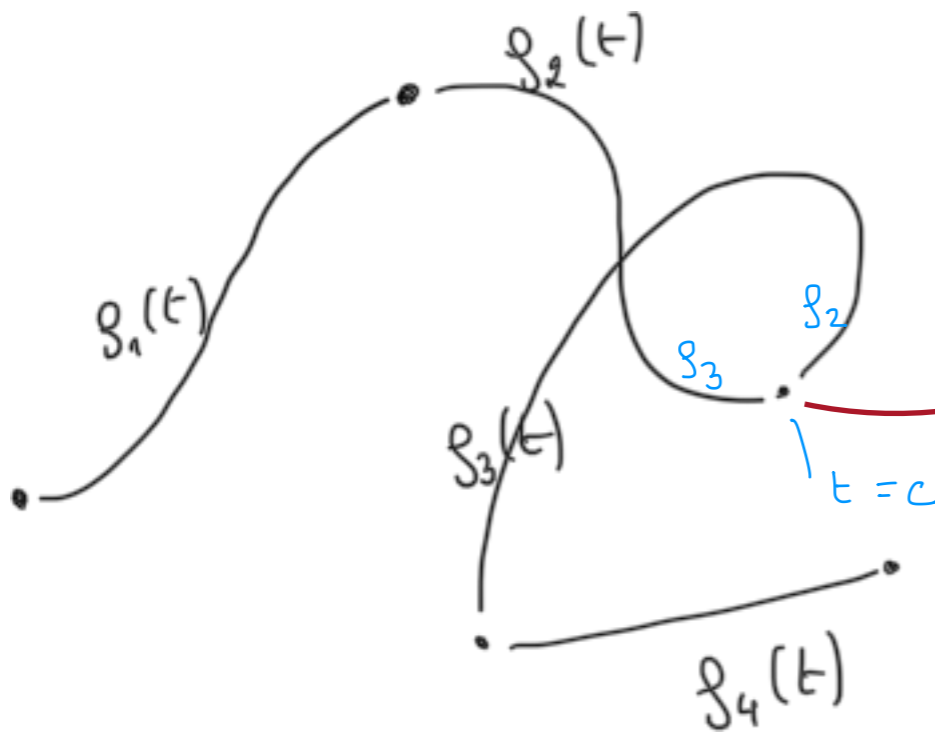
- ▶ Unique
- ▶ Paramètre noté  $s$  (**abscisse curviligne**) : longueur le long de la courbe
- ▶ Appelée **paramétrisation normale**



# CONTINUITÉ GÉOMÉTRIQUE ( $\mathcal{G}^k$ )

Piecewise models

Courbes modélisée par morceaux :



→ Courbe continue

→ Continuité de la dérivée / tangente ?

curve continuous if:

$$\lim_{\substack{t \rightarrow c \\ t < c}} g_2(t) = \lim_{\substack{t \rightarrow c \\ t > c}} g_3(t)$$

if  $g_2, g_3$  are continuous

$$\hookrightarrow \underline{g_2(c) = g_3(c)}$$

$$\mathcal{G} \begin{cases} f_1 : [a, b] \rightarrow \mathbb{R}^k \\ f_2 : [b, c] \rightarrow \mathbb{R}^k \\ f_3 : [c, d] \rightarrow \mathbb{R}^k \\ f_4 : [d, e] \rightarrow \mathbb{R}^k \end{cases}$$

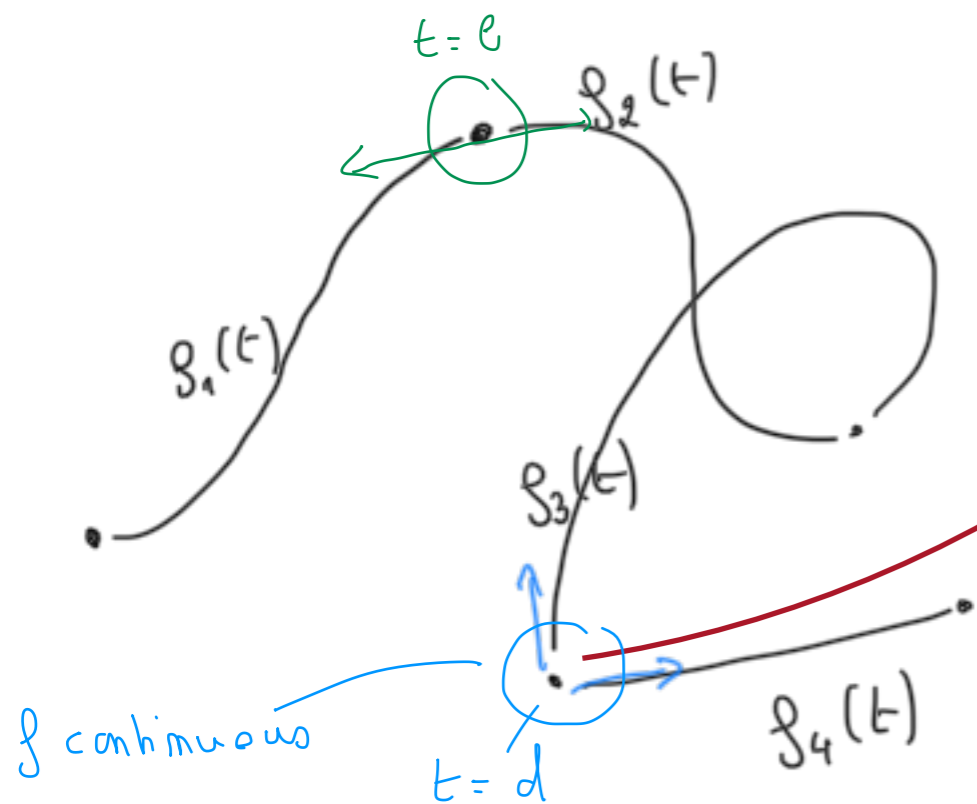
piecewise curve  $\mathcal{G}$  is continuous

# CONTINUITÉ GÉOMÉTRIQUE ( $\mathcal{G}^k$ )

Piecewise parametric curves

~~$\mathbb{R}^k$~~  ←  $\mathbb{C}^{\mathbb{R}}$

Courbes modélisée par morceaux :



Courbe continue

Continuité de la dérivée / tangente ?

Discontinue Discontinuous tangents

$$g'_3(d) \neq g'_4(d)$$

↳ singularity

$$f_1 : [a, b] \rightarrow \mathbb{R}^k$$

$$f_2 : [b, c] \rightarrow \mathbb{R}^k$$

$$f_3 : [c, d] \rightarrow \mathbb{R}^k$$

$$f_4 : [d, e] \rightarrow \mathbb{R}^k$$

$t=b$ : the curve is smooth (no sharp point)

$$\Leftrightarrow g'_1(b) = \lambda g'_2(b) \quad \lambda \neq 0$$

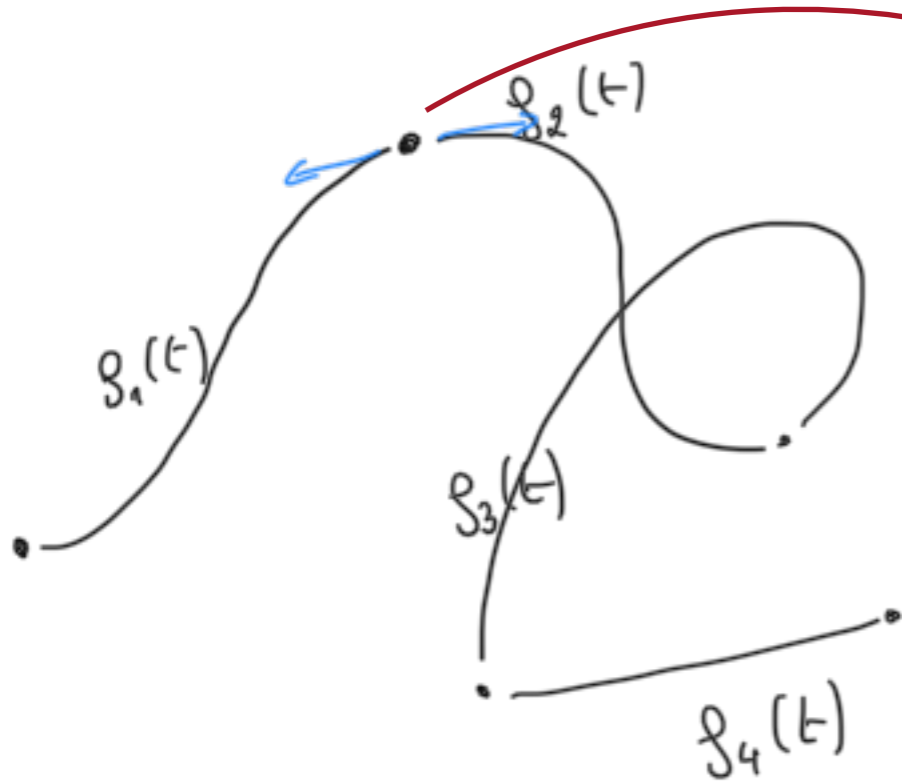
no geometric continuity  $\rightsquigarrow$

$$\boxed{\mathbb{C}^k}$$

~~$\mathbb{G}^k$~~

# CONTINUITÉ GÉOMÉTRIQUE ( $\mathcal{G}^k$ )

Courbes modélisée par morceaux :



$$f_1 : [a, b] \rightarrow \mathbb{R}^k$$

$$f_2 : [b, c] \rightarrow \mathbb{R}^k$$

$$f_3 : [c, d] \rightarrow \mathbb{R}^k$$

$$f_4 : [d, e] \rightarrow \mathbb{R}^k$$

Courbe continue

Continuité de la dérivée / tangente ?

$$f'_1(b^-) = f'_2(b^+)$$

Tangentes colinéaires en  $b$

$$f'_1(b^-) = \lambda \cdot f'_2(b^+)$$

Continuité  
paramétrique  $\mathcal{C}^1$

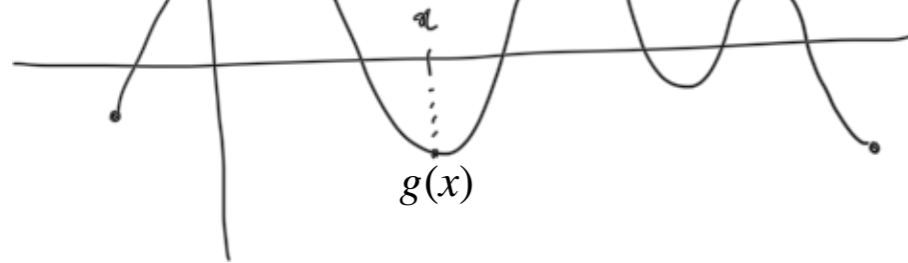
Continuité  
géométrique  $\mathcal{G}^1$

# CAS PARTICULIER : MODÈLES CARTÉSIENS

Cas particulier où le paramètre est  $x$  :

$$y = g(x)$$

↳ paramètre  $t = x$



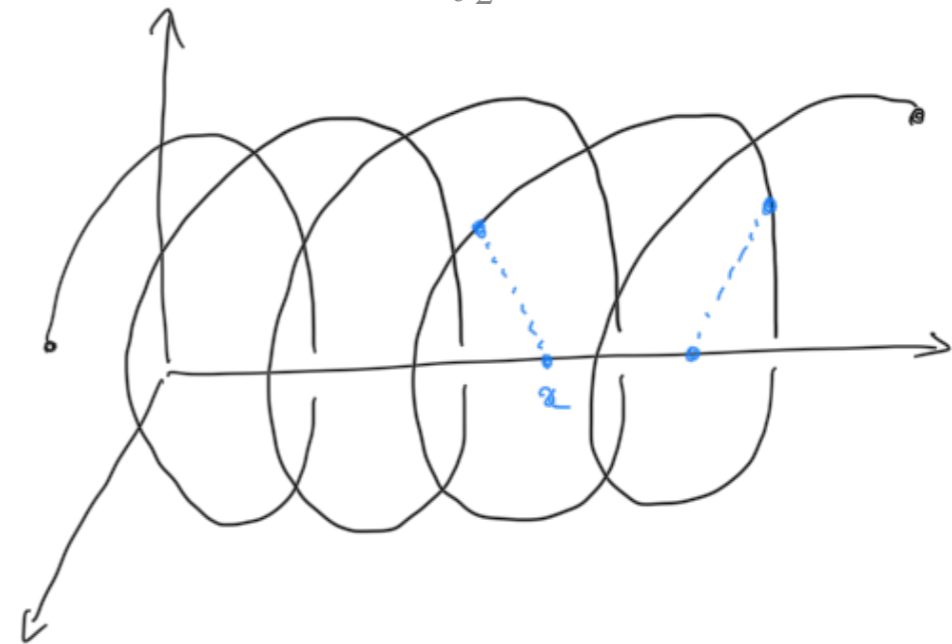
Représentation paramétrique associée :

$$f : \mathbb{R} \rightarrow \mathbb{R}^2$$

$$f(x) = \begin{pmatrix} x \\ g(x) \end{pmatrix}$$

$$y = f_1(x)$$

$$z = f_2(x)$$



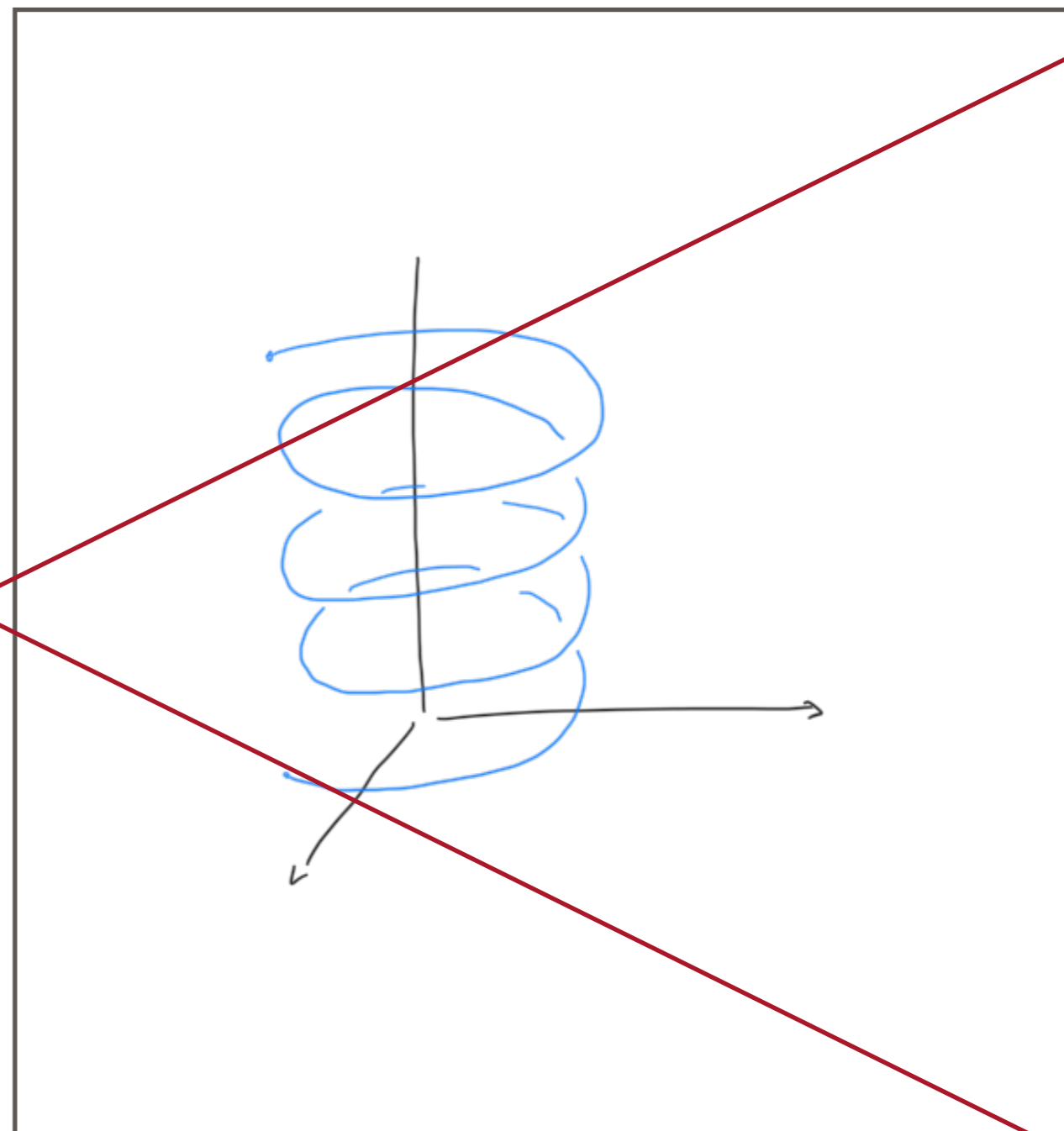
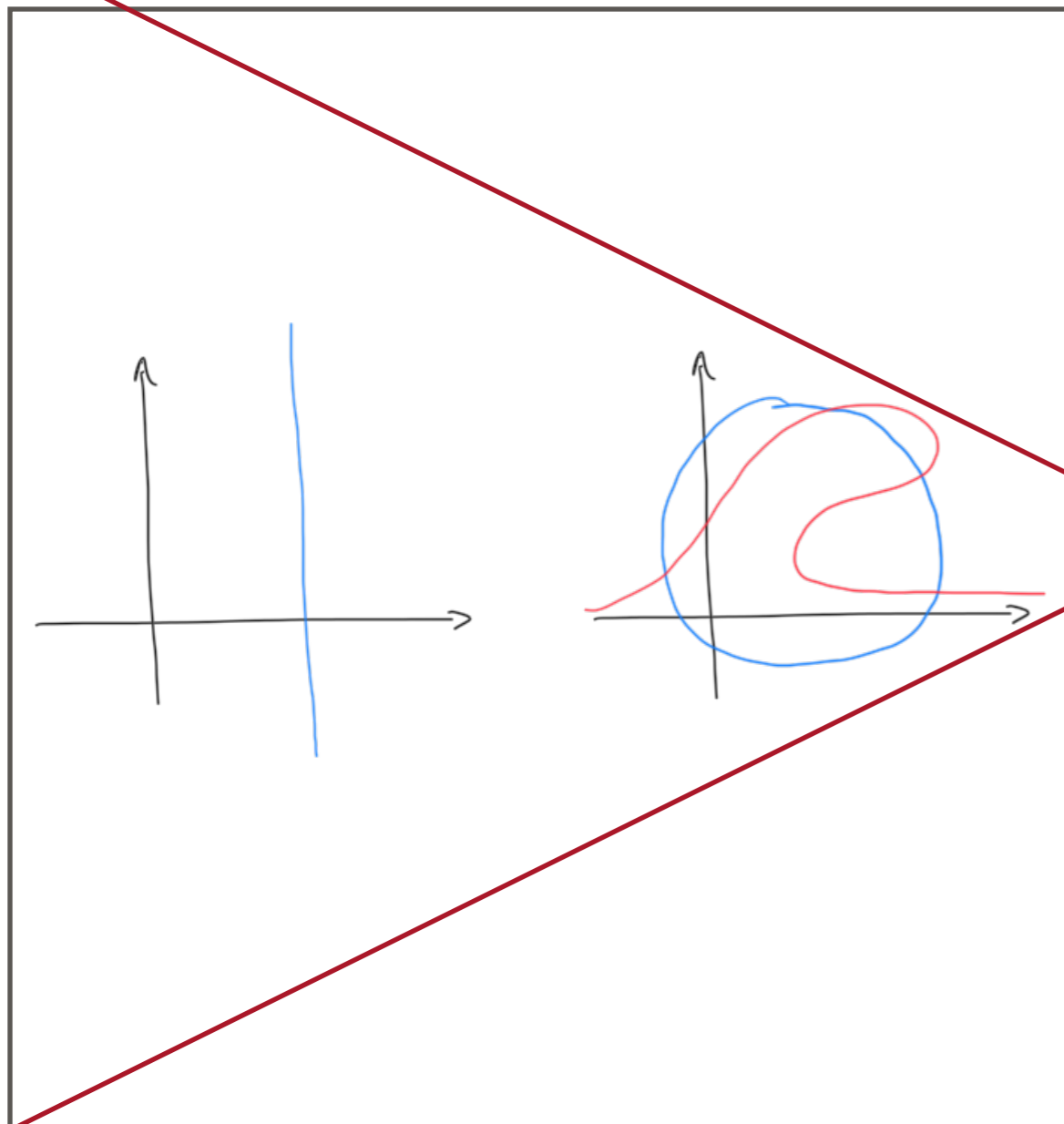
Représentation paramétrique associée :

$$f : \mathbb{R} \rightarrow \mathbb{R}^3$$

$$f(x) = \begin{pmatrix} x \\ f_1(x) \\ f_2(x) \end{pmatrix}$$

## CAS PARTICULIER : MODÈLES CARTÉSIENS

**Attention : modèles restrictifs !**



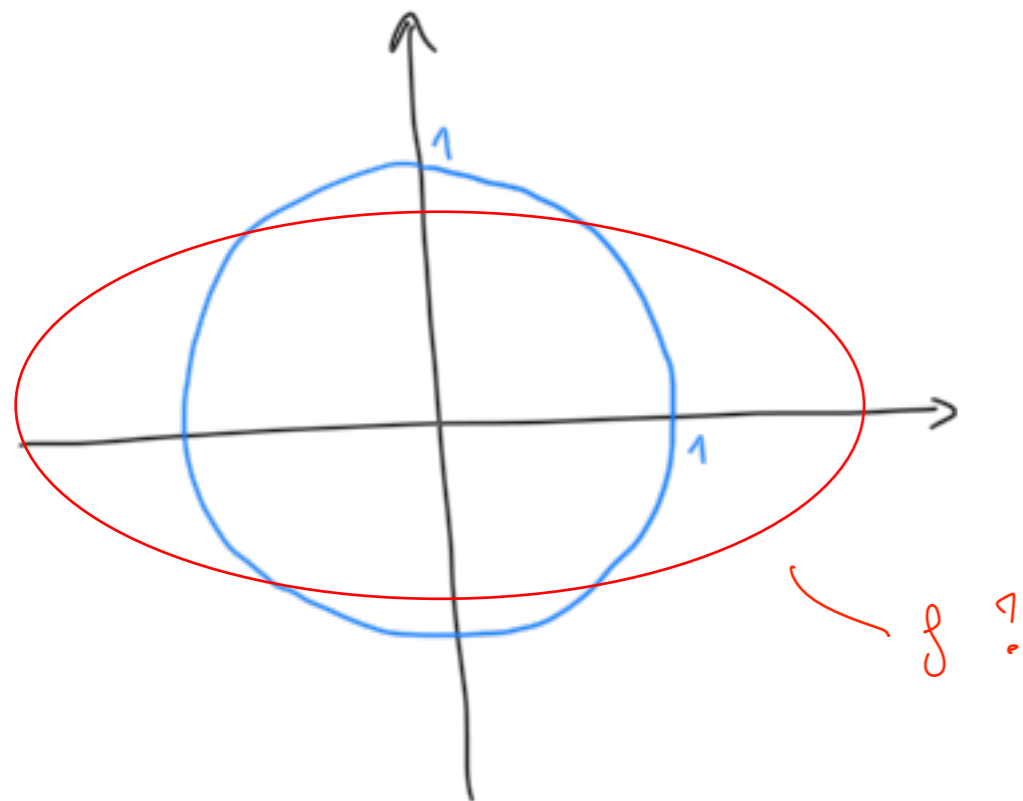
5.56  
3.24  
9.62  
3.36  
5.56  
24  
62  
36  
56  
24  
62  
36  
56  
24

+740.21  
+122.56  
+140.04  
+180.98  
+740.21  
+122.56  
+140.04  
+180.98  
+740.21

-  
-  
-  
-  
-  
-  
-  
-  
-

# BÉZIERS, B- SPLINES ... MOTIVATION

# COMMENT CONTRÔLER LE FORME DE LA COURBE ?

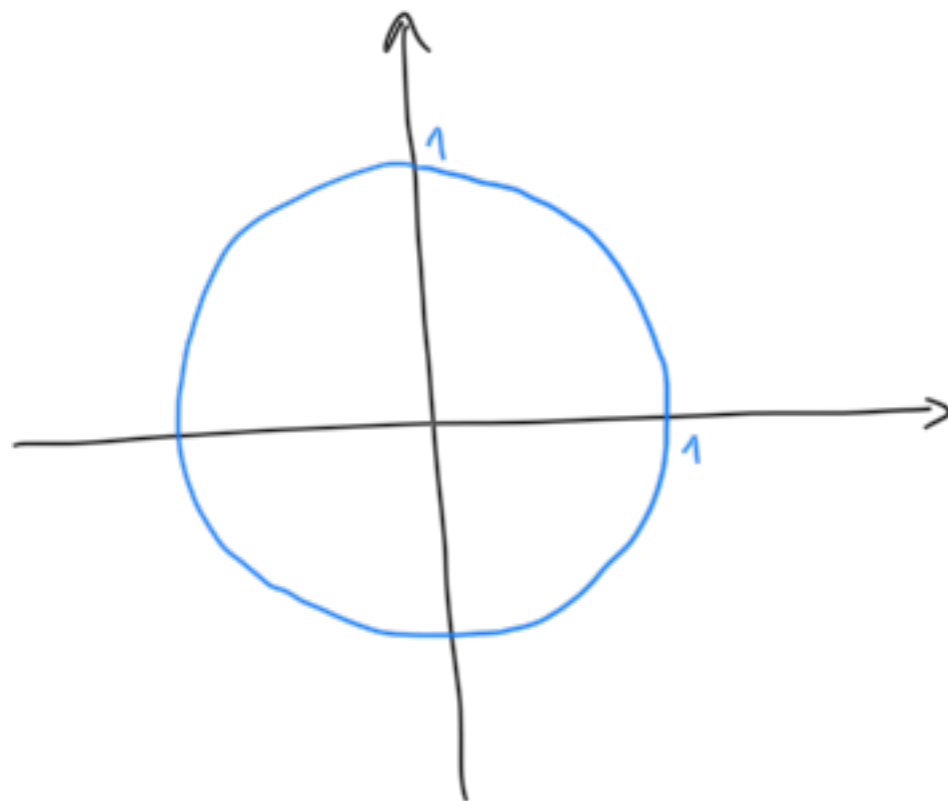


Quelle équation  $f : \mathbb{R} \rightarrow \mathbb{R}^2$  ?

$$t \mapsto \begin{pmatrix} \cos t \\ \sin t \end{pmatrix}$$



# COMMENT CONTRÔLER LE FORME DE LA COURBE ?



Quelle équation  $f : \mathbb{R} \rightarrow \mathbb{R}^2$  ?

$$f : \mathbb{R} \rightarrow \mathbb{R}^2$$

Pourtant courbe très simple ...

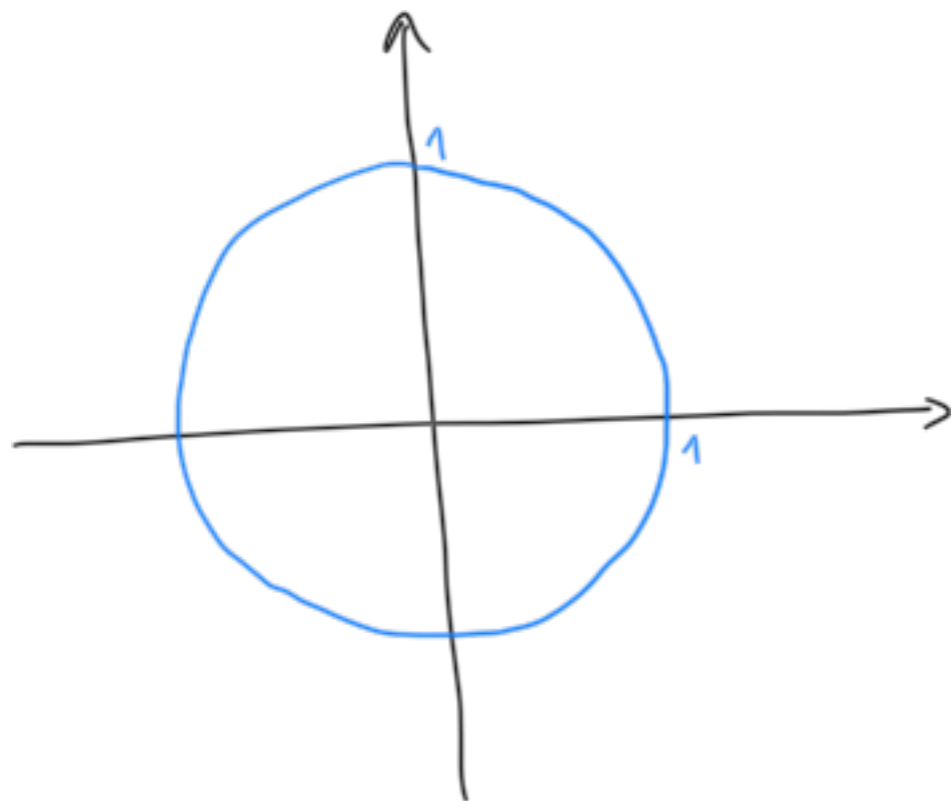
▶ Question trop générale

Choisir  $f$  d'une forme particulière

Dépendant de paramètres simples

↕  
Contrôlent la forme

# COMMENT CONTRÔLER LE FORME DE LA COURBE ?



Quelle équation  $f : \mathbb{R} \rightarrow \mathbb{R}^2$  ?

Pourtant courbe très simple ...

► Question trop générale

Choisir  $f$  d'une forme particulière

Polynômes de degré  $\leq n$

$$a_0 + a_1 X + \dots + a_n X^n$$

*m: degree  
(sch)*

*vector space of dim  
m+1*

Dépendant de paramètres simples

*n + 1 coefficients*

Contrôlent la forme

*.../...*

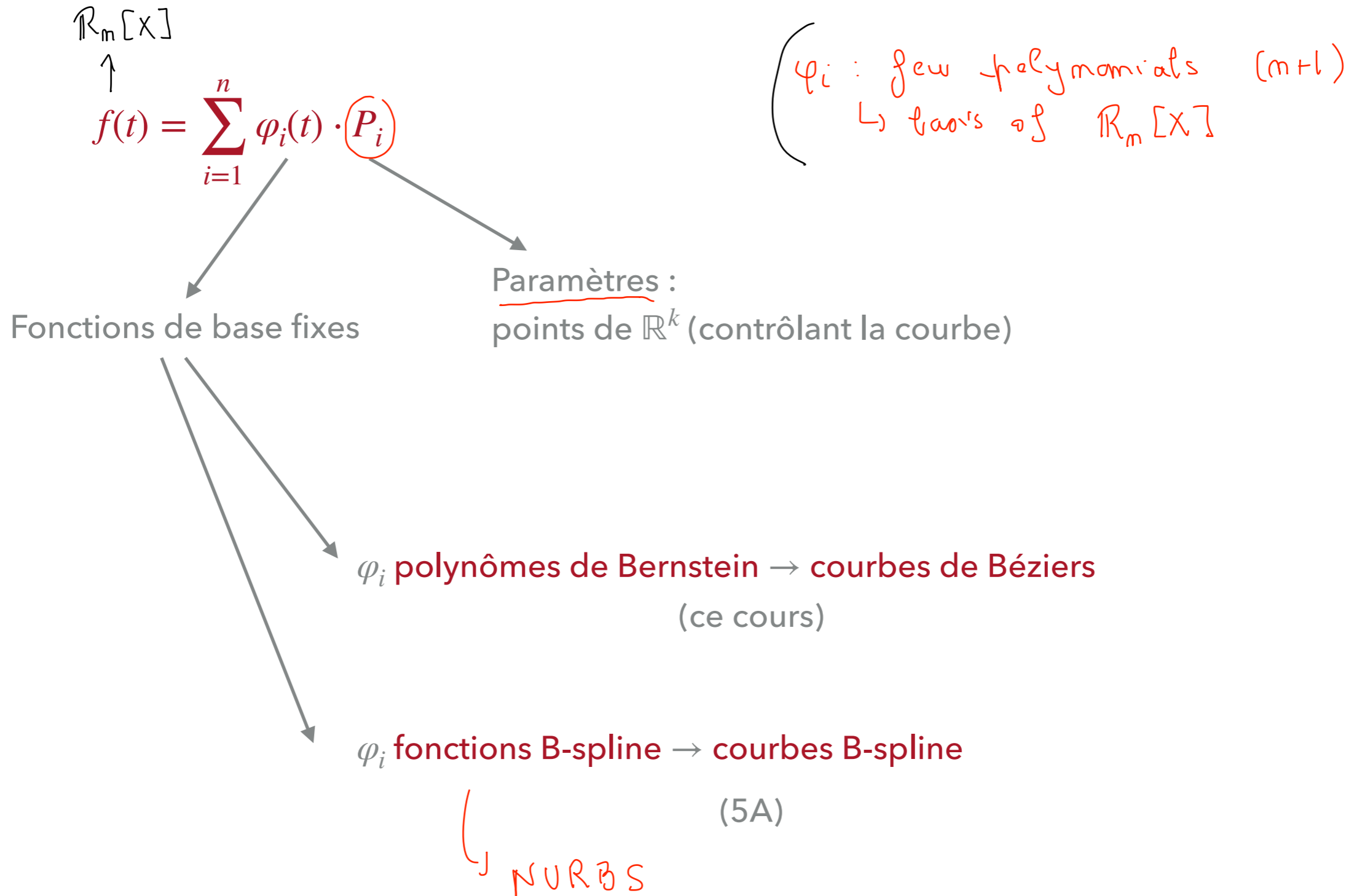
$\mathbb{R}_m[x]$  — Poly with degree  $\leq m$

$\mathbb{R}$ -Vect. space of dim  $m+1$

↪ canonical basis:

$1, x, x^2, \dots, x^m$  )  $m+1$  poly.

# COMMENT CONTRÔLER LE FORME DE LA COURBE ?



5.56  
3.24  
9.62  
36  
56  
24  
62  
36  
56  
24  
62  
36  
56  
24

+740.21  
+122.56  
+140.04  
+180.98  
+740.21  
+122.56  
+140.04  
+180.98  
+740.21

-  
-  
-  
-  
-  
-  
-  
-  
-

# COURBES DE BÉZIERS

# COURBES DE BÉZIERS

2D - curves

$$f(t) = \begin{pmatrix} f_1(t) \\ f_2(t) \end{pmatrix}$$

$\mathbb{R}_n[X]$

polynômes de degré au plus  $n$

~~dans la base canonique :~~

$$f_1(t) = a_0 + a_1t + \dots + a_nt^n$$

$$f_2(t) = b_0 + b_1t + \dots + b_nt^n$$

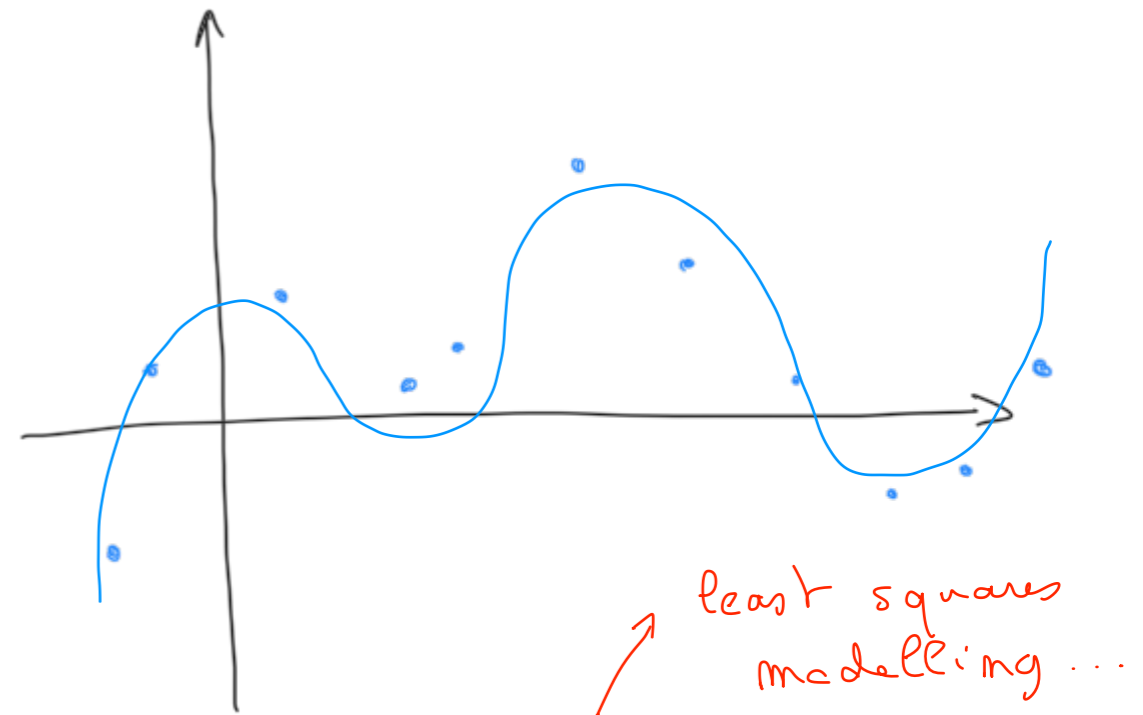
Pas la bonne base ...

$$f(t) = \sum_{i=1}^n \varphi_i(t) \cdot P_i$$

Base

Paramètre de contrôle

$$f(t) = \sum_{i=0}^n t^i \begin{pmatrix} a_i \\ b_i \end{pmatrix}$$



→ solve eq ...

least squares modelling ...

$\{P_i\}$  tq la courbe passe près de ces points ?

?

# POLYNÔMES DE BERNSTEIN

Base de Bernstein de  $\mathbb{R}_n[t]$

- ▶  $n + 1$  polynômes
- ▶  $\varphi_{n,i} : [0,1] \rightarrow \mathbb{R}$  pour le  $i = 0 \dots n$

$$\varphi_{n,i}(t) = C_n^i \cdot t^i \cdot (1-t)^{n-i}$$

$\downarrow$   
 $i: 0 \rightarrow n$   


---

 $n+1$  poly.

$\swarrow a=t$      $\searrow b=(1-t)$

Ex : pour  $n = 3$

$$\begin{aligned} \varphi_{3,0}(t) &= (1-t)^3 \\ \varphi_{3,1}(t) &= 3t(1-t)^2 \\ \varphi_{3,2}(t) &= 3t^2(1-t) \\ \varphi_{3,3}(t) &= t^3 \end{aligned}$$

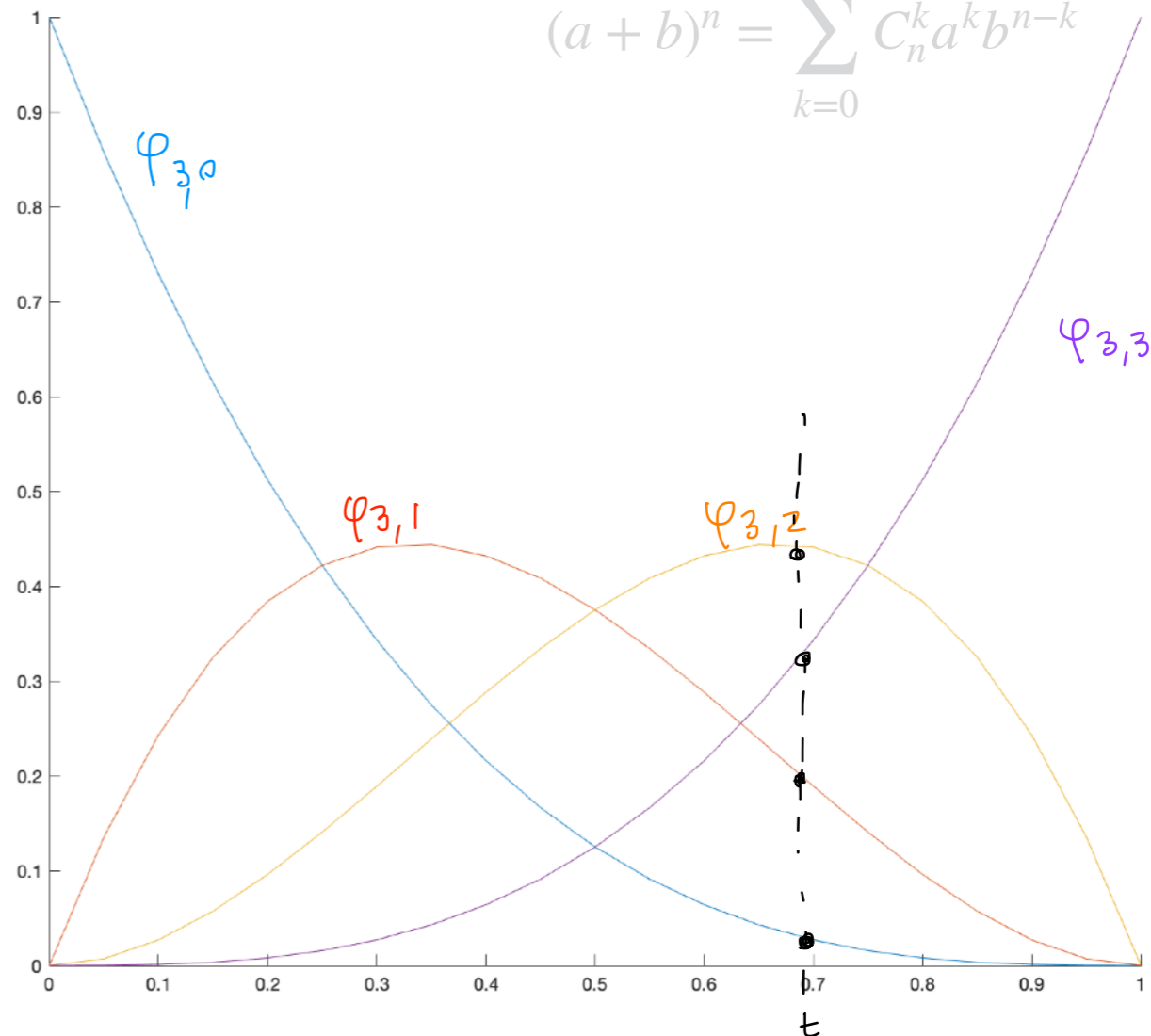
Choose degree :  $\boxed{n}$

$$\left( \cancel{t} + (\cancel{1-t}) \right)^n = \sum_{k=0}^n \varphi_{n,k}(t)$$

$\downarrow$   
 $1$

Parenté avec le binôme de Newton

$$(a+b)^n = \sum_{k=0}^n C_n^k a^k b^{n-k}$$



# POLYNÔMES DE BERNSTEIN - PROPRIÉTÉS

$$\varphi_{n,0}(0) = 1$$

$$\varphi_{n,n}(1) = 1$$

$$\varphi_{n,i}(0) = 0$$

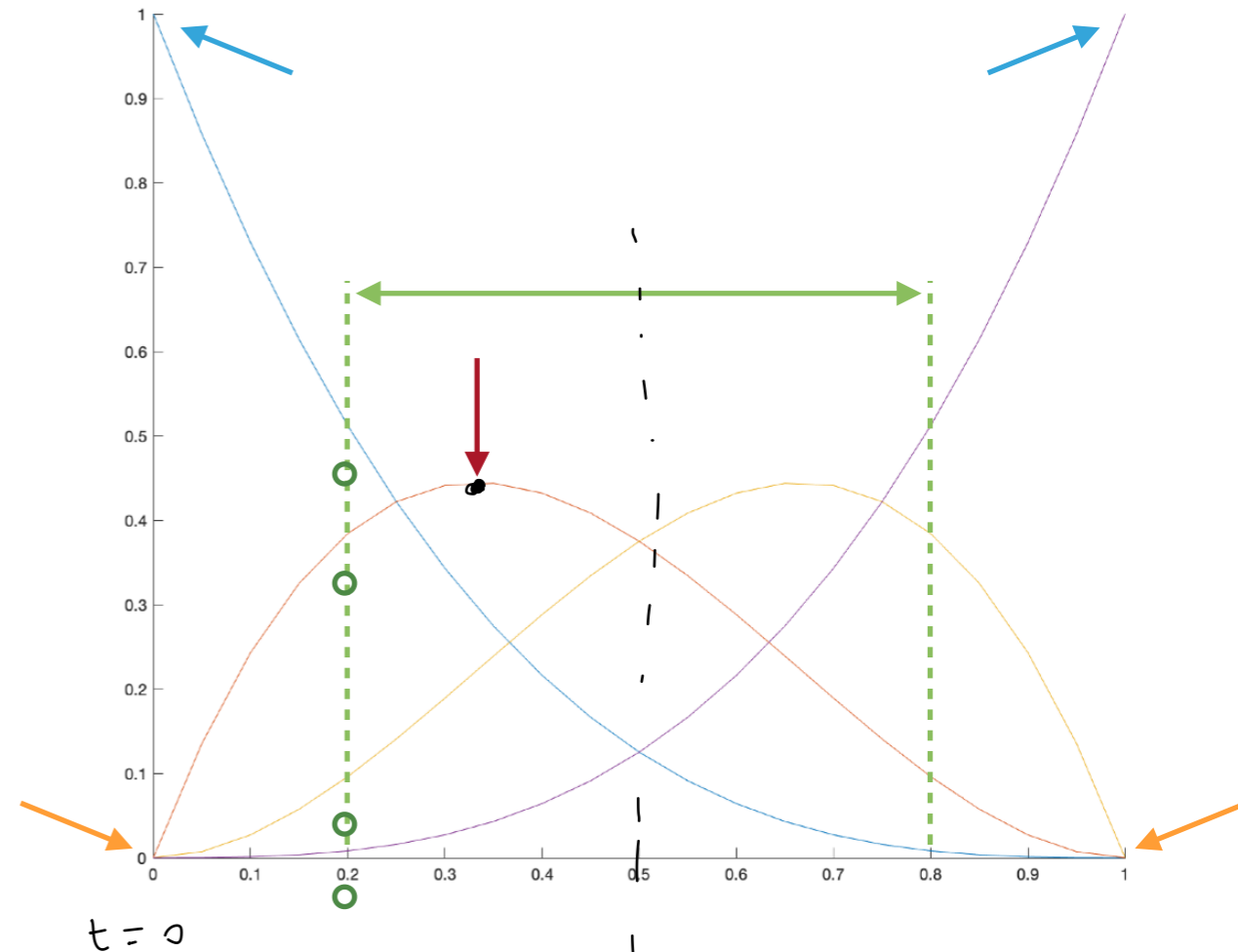
$$0 < i < n$$

Symétrie

$$\varphi_{n,i}(t) = \varphi_{n,n-i}(1-t)$$

Partition de l'unité

$$\sum_{i=0}^n \varphi_{n,i}(t) = 1 \quad \forall t \in [0,1]$$



Maximum de  $\varphi_{n,i}(t)$   
en  $\frac{i}{n}$



# POLYNÔMES DE BERNSTEIN - PROPRIÉTÉS

$$\varphi_{n,0}(0) = 1$$

$$\varphi_{n,n}(1) = 1$$

$$\varphi_{n,i}(0) = 0$$

$$0 < i < n$$

Symétrie

$$\varphi_{n,i}(t) = \varphi_{n,n-i}(1-t)$$

Partition de l'unité

$$\sum_{i=0}^n \varphi_{n,i}(t) = 1 \quad \forall t \in [0,1]$$

Proche triangle Pascal



Formule récursive

$$\text{en } \varphi_{n,i}(t) = t\varphi_{n-1,i-1}(t) + (1-t)\varphi_{n-1,i}(t)$$

Maximum de  $\varphi_{n,i}(t)$

$$\text{en } \frac{i}{n}$$

# COURBES DE BÉZIERS

Courbe de Béziers de degré  $n$

$$f(t) = \sum_{i=0}^n \varphi_{n,i}(t) \cdot P_i$$

pts - parameters

curve

$P_0, \dots, P_n$  points de contrôle

▶  $f(0) = P_0$  ←  $t = 0$  → curve starts from  $P_0$

▶  $f(1) = P_n$  ←  $t = 1$  → curve ends at  $P_n$

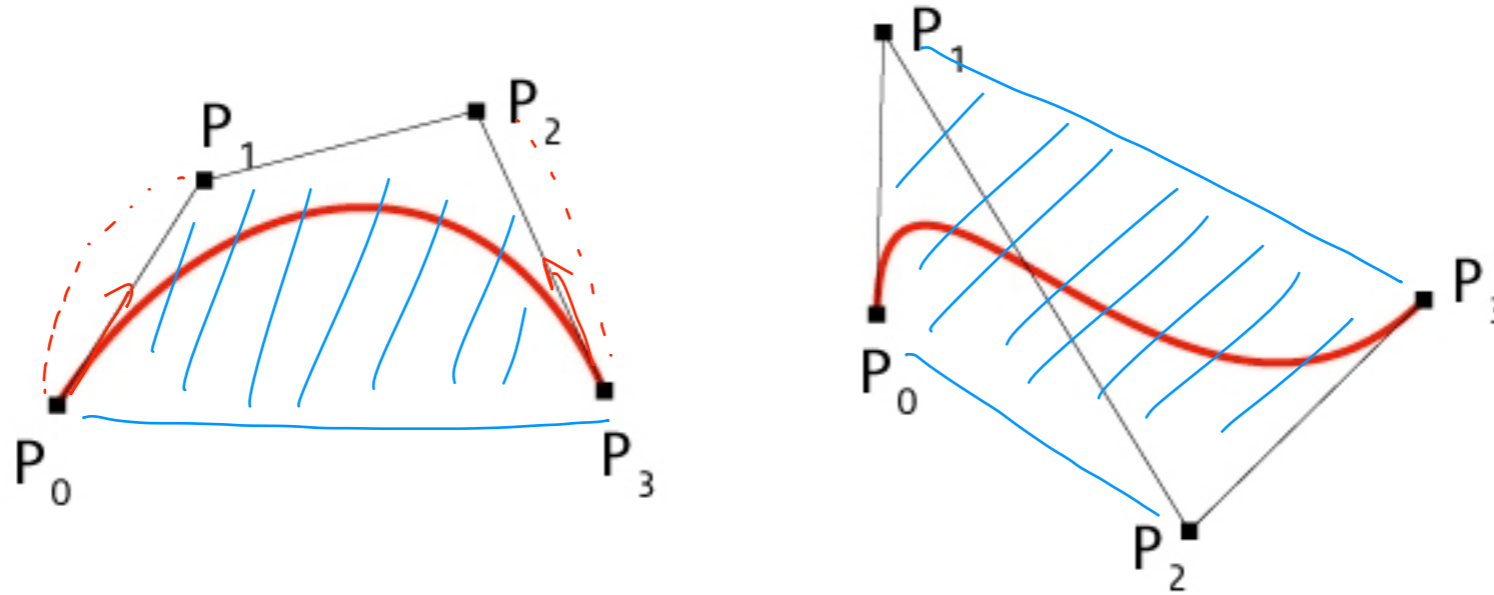
▶ Influence maximale de  $P_i$  en  $\frac{i}{n}$

~~$f\left(\frac{i}{n}\right) = P_i$  ?~~

$t = \frac{i}{n}$

$f(t)$  closest from  $P_i$

# COURBES DE BÉZIERS



- ▶  $f(t)$  barycentre des  $P_i$  pondérés par  $\varphi_{n,i}(t)$
- ▶ Courbe dans l'enveloppe convexe des points de contrôle  
*convex hull*

# DÉRIVÉES / TANGENTES DES COURBES DE BÉZIERS

$$\varphi'_{n,i}(t) =$$

$$\varphi'_{n,i}(t) = n(\varphi_{n-1,i-1}(t) - \varphi_{n-1,i}(t))$$

$$f'(t) =$$

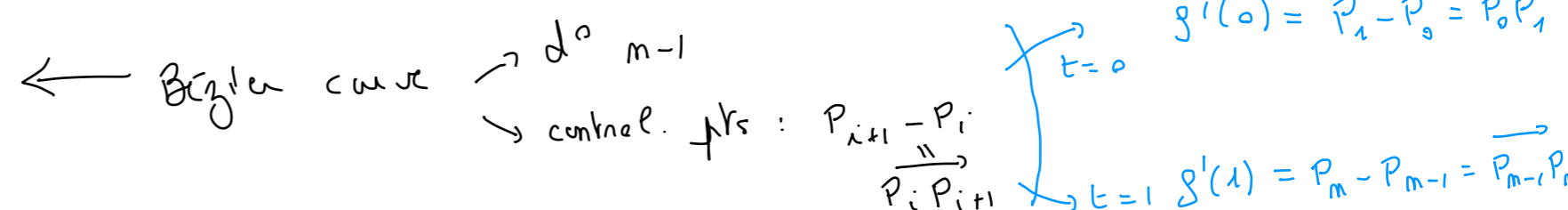
$$g'(t)$$

$$f'(t) = n \sum_{i=0}^{n-1} \varphi_{n-1,i}(t) \cdot \overrightarrow{(P_{i+1} - P_i)}$$

Exercise ...

$$g(t) = \sum_{i=0}^m \varphi_{m,i}(t) \cdot P_i$$

Bézier curve with (d° m)  
control. pts  
 $P_0 \dots P_m$



# DÉRIVÉES / TANGENTES DES COURBES DE BÉZIERS

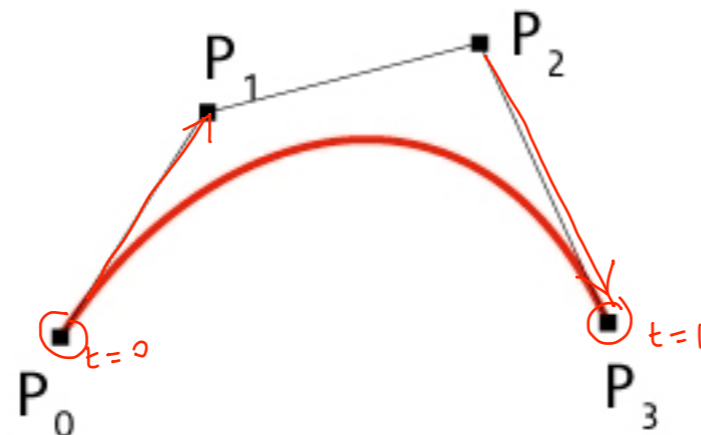
$$f'(t) = n \sum_{i=0}^{n-1} \varphi_{n-1,i}(t) \cdot (P_{i+1} - P_i)$$

→ Courbe de Béziers

- Degré  $n - 1$
- Points de contrôle  $P_1 - P_0, \dots, P_n - P_{n-1}$

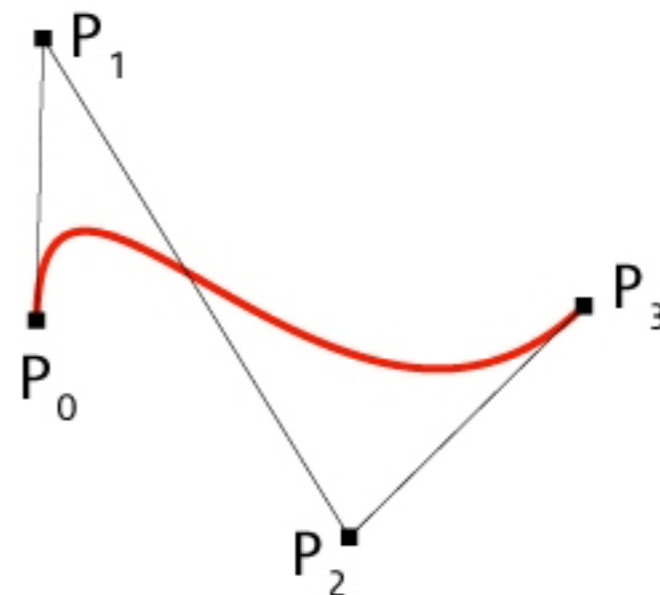
Tangente à la courbe en 0 :

$$n \cdot \overrightarrow{P_0P_1}$$



Tangente à la courbe en 1 :

$$n \cdot \overrightarrow{P_{n-1}P_n}$$



**Permet de raccorder des courbes de Béziers**

Rough computation ...

# CALCUL DE POINT : ALGORITHME DE DE CASTELJAU

Algorithme similaire déjà connu : calcul de  $C_n^k$  ...



curve  $\rightarrow$   $\underline{g(t)} = \sum_{i=0}^m \varphi_{m,i}(t) \cdot P_i$   
 $\underline{d^m}$   
 $\varphi_{m,i}(t) = C_m^i t^i (1-t)^{m-i}$  —  $G(m)$   
 $G(m^2) \dots$

~~$C_n^k = \frac{n!}{k!(n-k)!}$~~



Débordements de capacité ...

$C_n^k = C_{n-1}^{k-1} + C_{n-1}^k$



~~Fonction récursive :~~

duplication des calculs ...



Calcul itératif via un tableau :

Triangle de Pascal



$\rightarrow$  compute pts ...  
 $g(t_0)$  ?  
 $G(m^2)$

# CALCUL DE POINT : ALGORITHME DE DE CASTELJAU

1) Formule réursive

$$f(t) = \sum_{i=0}^n \varphi_{n,i}(t) \cdot P_i =$$

$$\varphi_{n,i}(t) = t\varphi_{n-1,i-1}(t) + (1-t)\varphi_{n-1,i}(t)$$

← rec. expr. of  $\varphi_{n,i}$

...

rec. expr. of  $f(t)$

# CALCUL DE POINT : ALGORITHME DE DE CASTELJAU

1) Formule réursive

$$\varphi_{n,i}(t) = t\varphi_{n-1,i-1}(t) + (1-t)\varphi_{n-1,i}(t)$$



$$f(t) = \sum_{i=0}^n \varphi_{n,i}(t) \cdot P_i =$$

$$g(t) = t \left( \sum_{i=0}^{n-1} \varphi_{n-1,i}(t) P_{i+1} \right) + (1-t) \left( \sum_{i=0}^{n-1} \varphi_{n-1,i}(t) P_i \right)$$

$\downarrow$  *d° n-1 Bézier curve*                       $\downarrow$  *d° n-1 Bézier curve.*  
 $P_1^{n-1}$      $P_0^{n-1}$

Points de courbes intermédiaires de degré  $n - 1$

On pose :

$$P_i^j = f_{P_i, \dots, P_{i+j}}(t)$$



# CALCUL DE POINT : ALGORITHME DE DE CASTELJAU

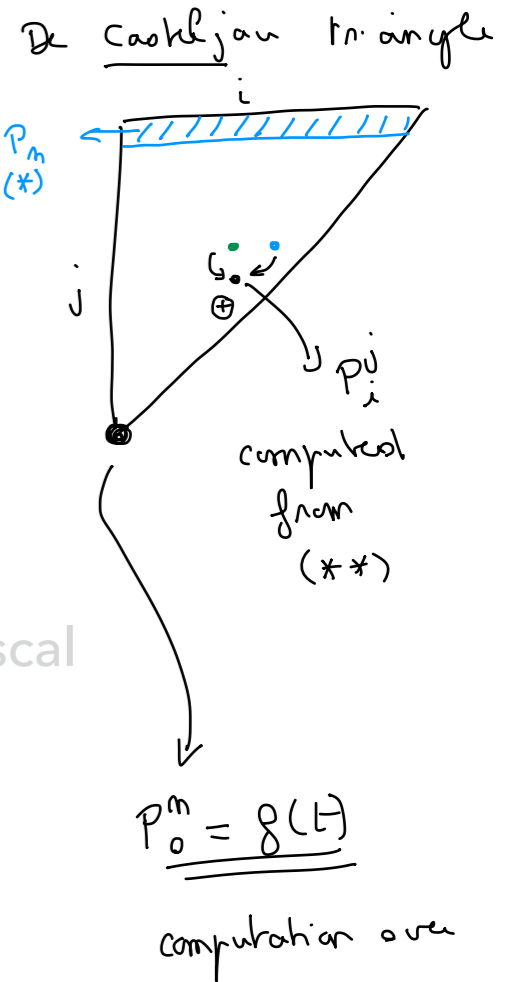
Input:  $m+1$  pts  $P_0 \dots P_m$

1) Formule réursive

(\*\*) 
$$P_i^j = t P_{i+1}^{j-1} + (1-t) P_i^{j-1}$$

avec  $P_i^0 = P_i$  (\*)

Ressemble  
fortement au  
triangle de Pascal



# CALCUL DE POINT : ALGORITHME DE DE CASTELJAU

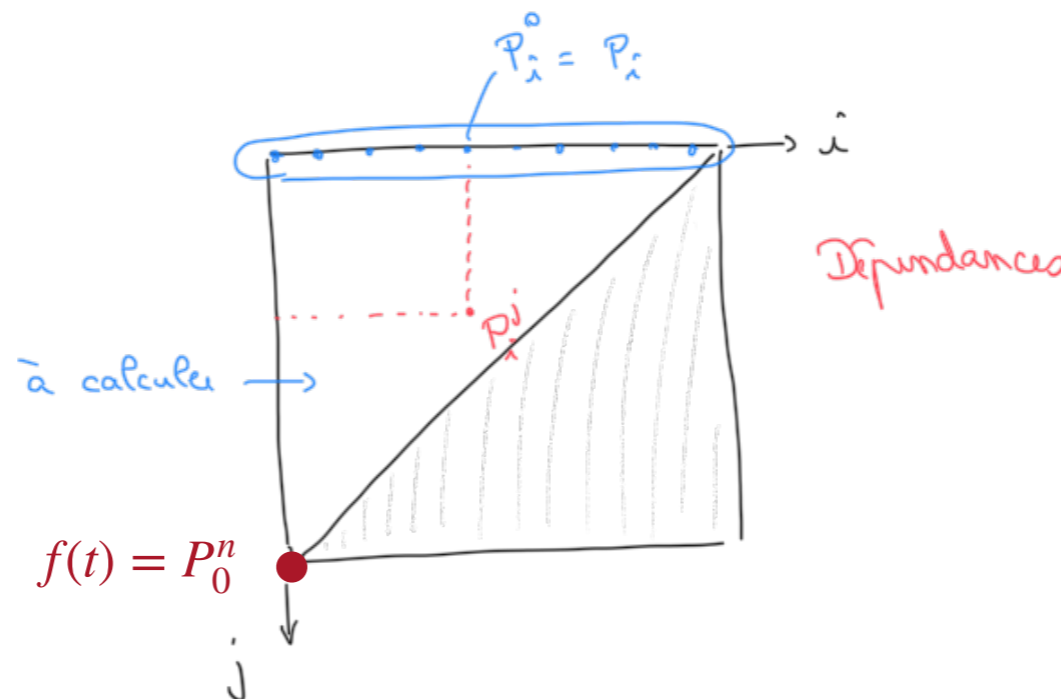
## 1) Formule réursive

$$P_i^j = tP_{i+1}^{j-1} + (1-t)P_i^{j-1}$$

$$\text{avec } P_i^0 = P_i$$

Ressemble  
fortement au  
triangle de Pascal

## 2) Dépendances de calcul



# CALCUL DE POINT : ALGORITHME DE DE CASTELJAU

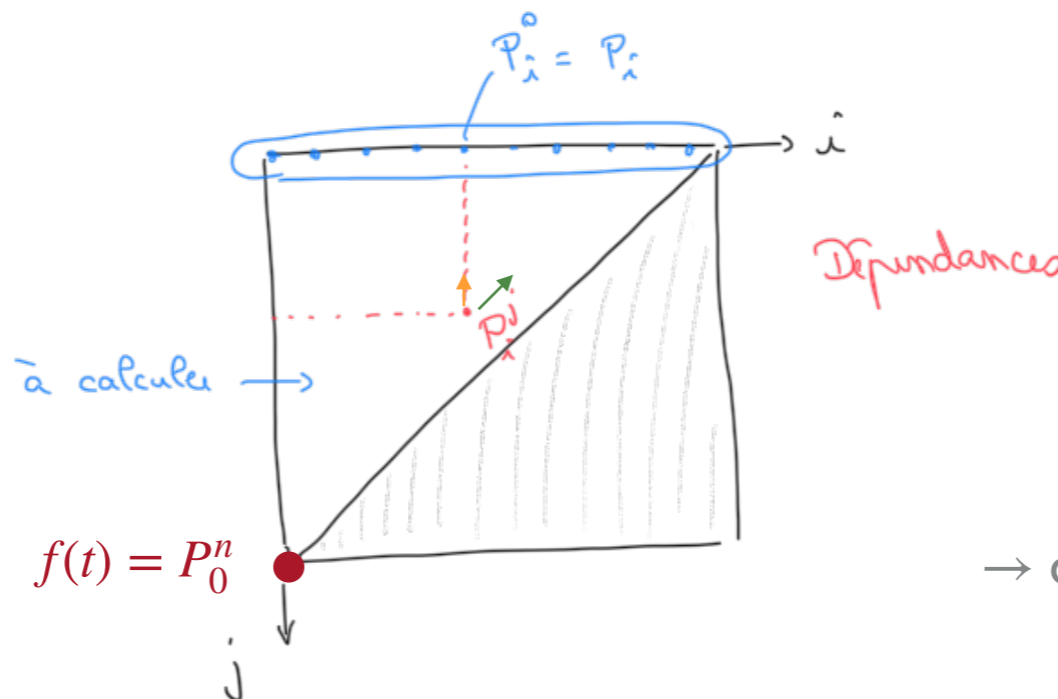
## 1) Formule réursive

$$P_i^j = t P_{i+1}^{j-1} + (1-t) P_i^{j-1}$$

avec  $P_i^0 = P_i$

Ressemble  
fortement au  
triangle de Pascal

## 2) Dépendances de calcul

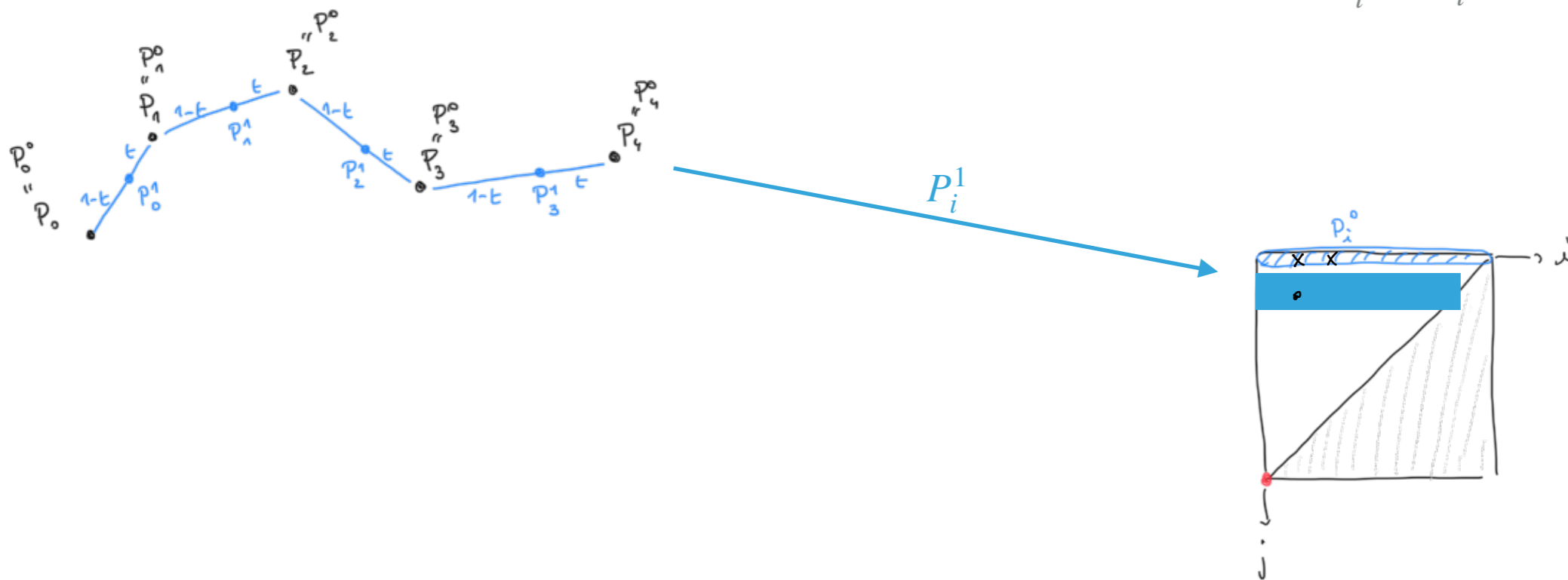


# CALCUL DE POINT : ALGORITHME DE DE CASTELJAU

$$P_i^j = tP_{i+1}^{j-1} + (1-t)P_i^{j-1}$$

avec  $P_i^0 = P_i$

Interprétation géométrique

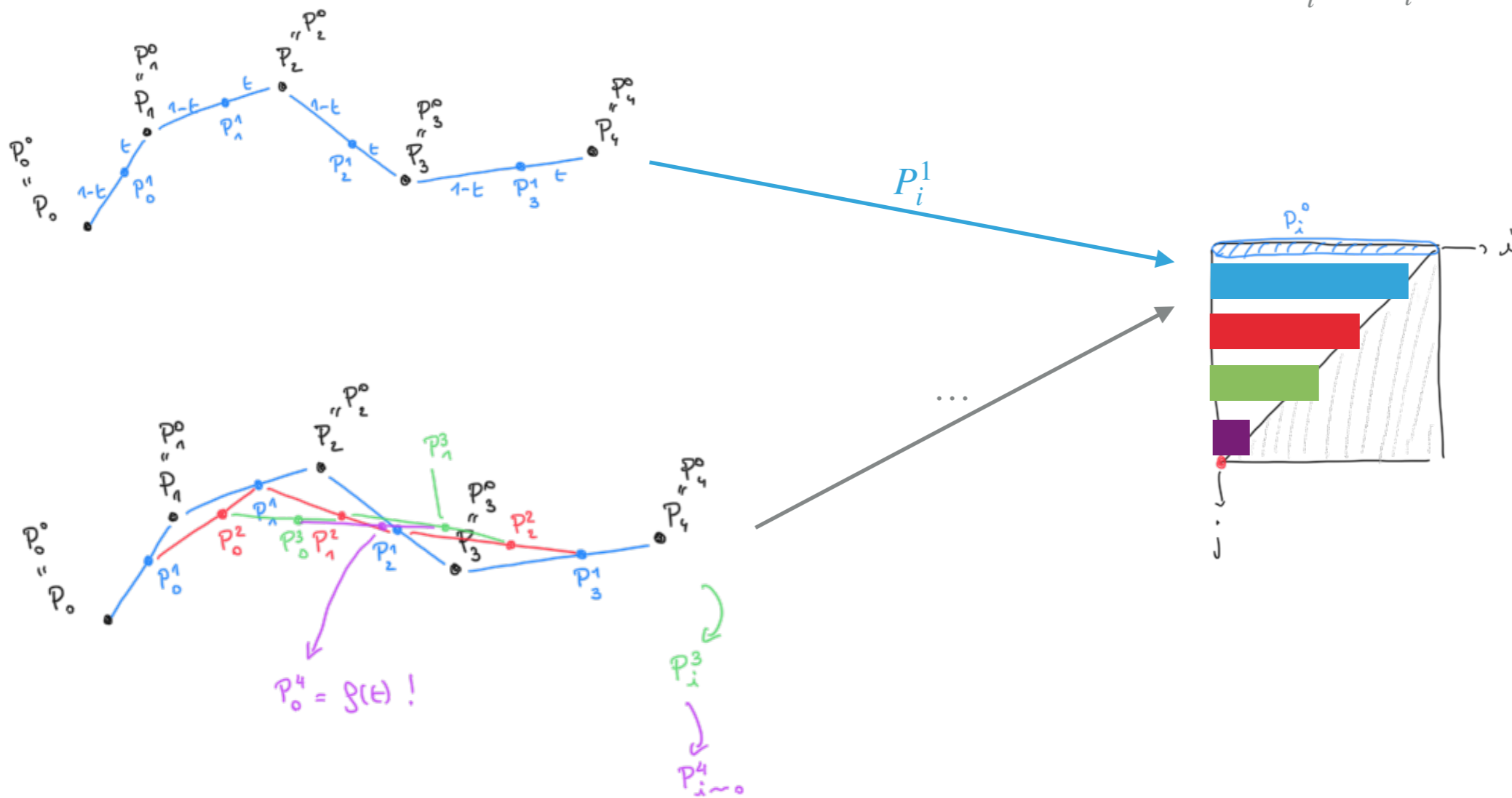


# CALCUL DE POINT : ALGORITHME DE DE CASTELJAU

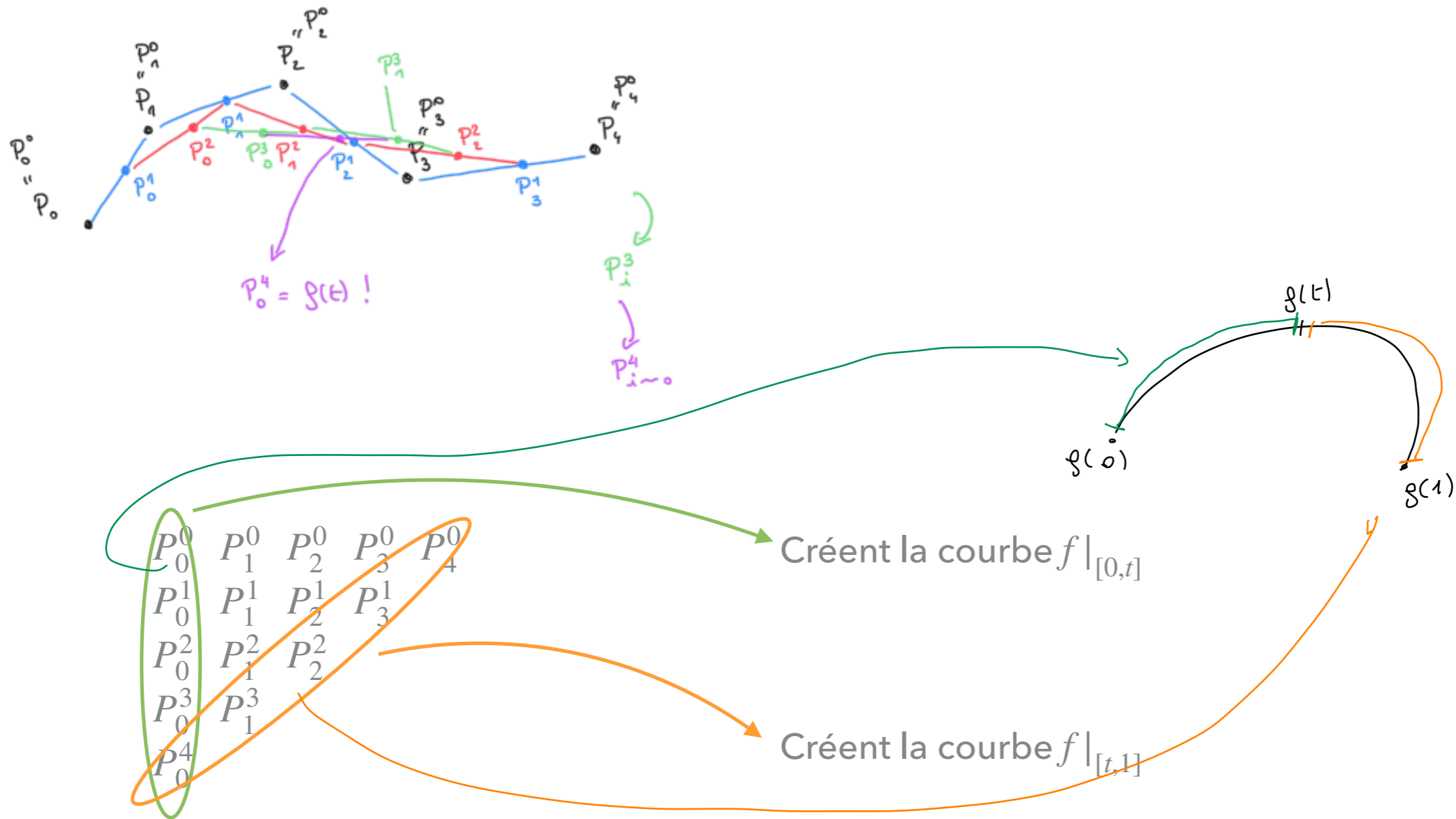
$$P_i^j = tP_{i+1}^{j-1} + (1-t)P_i^{j-1}$$

avec  $P_i^0 = P_i$

Interprétation géométrique



# DE CASTELJAU ET SUBDIVISION



→ Augmenter le nombre de points de contrôle

→ Subdivision de la courbe en deux courbes de même degré

# ÉLÉVATION DE DEGRÉ

$$f(t) = \sum_{i=0}^n \varphi_{n,i}(t) \cdot P_i$$

$$\varphi_{n,i}(t) = t\varphi_{n,i}(t) + (1-t)\varphi_{n,i}(t)$$

Evident ...

$$t\varphi_{n,i}(t) = \frac{i+1}{n+1}t\varphi_{n+1,i+1}(t)$$

$$(1-t)\varphi_{n,i}(t) = \frac{n+1-i}{n+1}t\varphi_{n+1,i}(t)$$

$$f(t) = \sum_{i=0}^{n+1} \varphi_{n+1,i}(t) \cdot P'_i$$

$$P'_0 = P_0$$

$$P'_{n+1} = P_n$$

$$P'_i = \frac{i}{n+1}P_{i-1} + \frac{n+1-i}{n+1}P_i$$

→ Augmenter le degré à  $n + 1$

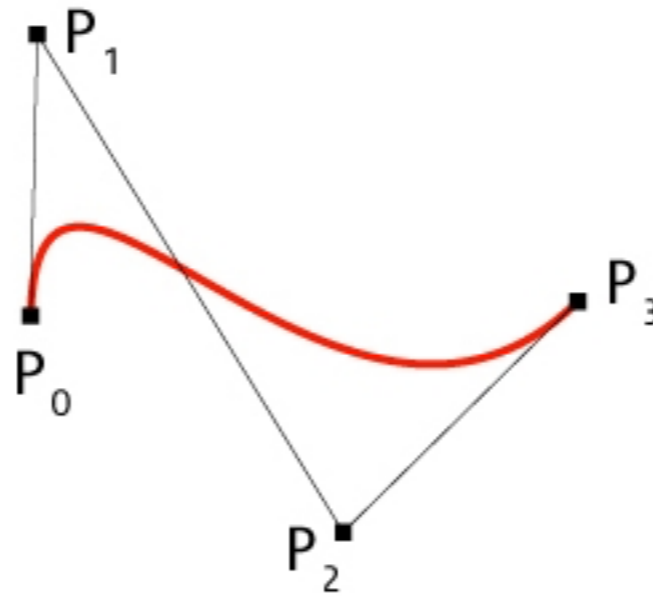
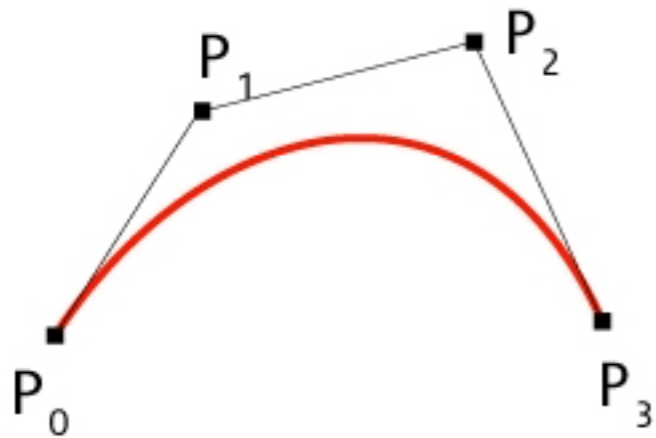
→ Courbe inchangée

|         |   |
|---------|---|
| +740.21 | - |
| +122.56 | - |
| +140.04 | - |
| +180.98 | - |
| +740.21 | - |
| +122.56 | - |
| +140.04 | - |
| +180.98 | - |
| +740.21 | - |

# CONCLUSION



## CONCLUSION



- ▶  $f(t)$  s'approche de  $P_i$  en  $t = \frac{i}{n}$
- ▶ Pas de contrôle plus précis
- ▶ Paramétrisation « cachée »

PLUS DE ... ?

Base B-spline

A suivre en 5A ...

Sera aussi beaucoup plus technique (paramétrisation explicite)

## CONCLUSION / RACCORDEMENT ?

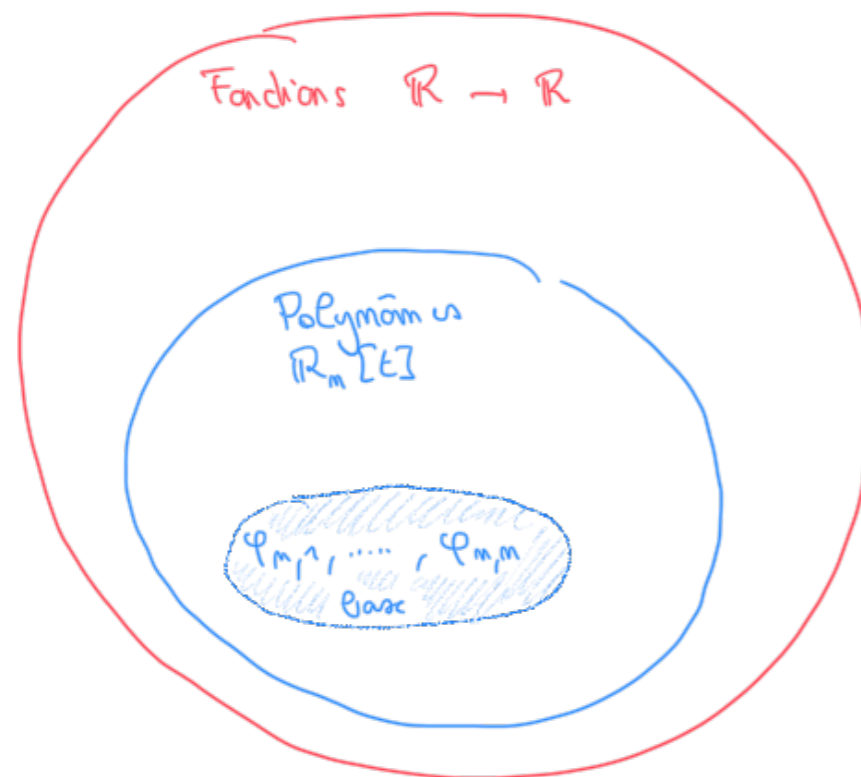


# SURFACES PARAMÉTRIQUES (BÉZIERS)

# « MODÉLISATION GÉOMÉTRIQUE » - MODÈLES PARAMÉTRIQUES

---

Base de Bernstein ...



Courbes (Béziens)

$$f(t) = \sum_{i=0}^m \varphi_{m,i}(t) \cdot P_i$$

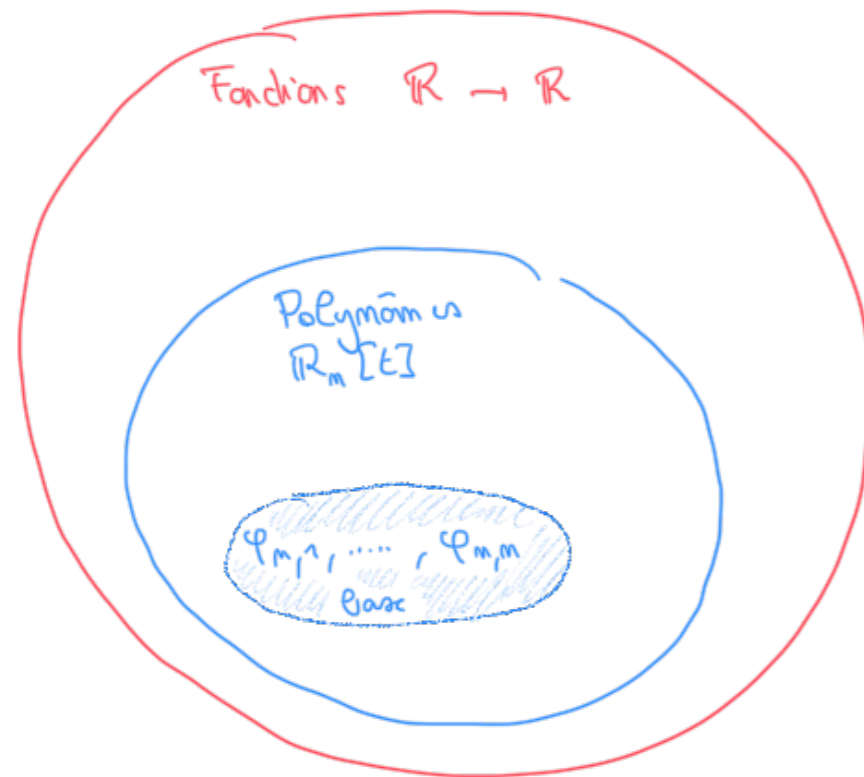
Surfaces paramétriques

$$f : \mathbb{R}^2 \rightarrow \mathbb{R}$$

$$f(u, v) =$$

# « MODÉLISATION GÉOMÉTRIQUE » - MODÈLES PARAMÉTRIQUES

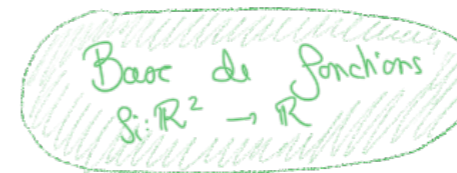
Base de Bernstein ...



↓

Courbes (Béziens)

$$f(t) = \sum_{i=0}^m \varphi_{m,i}(t) \cdot P_i$$



Surfaces paramétriques

$$f: \mathbb{R}^2 \rightarrow \mathbb{R}$$
$$f(u, v) = \sum_i f_i(u, v) \cdot P_i$$

# « MODÉLISATION GÉOMÉTRIQUE » - MODÈLES PARAMÉTRIQUES

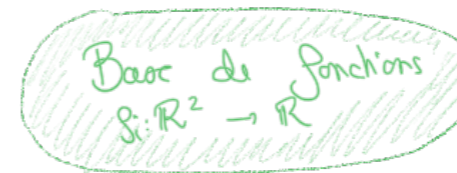
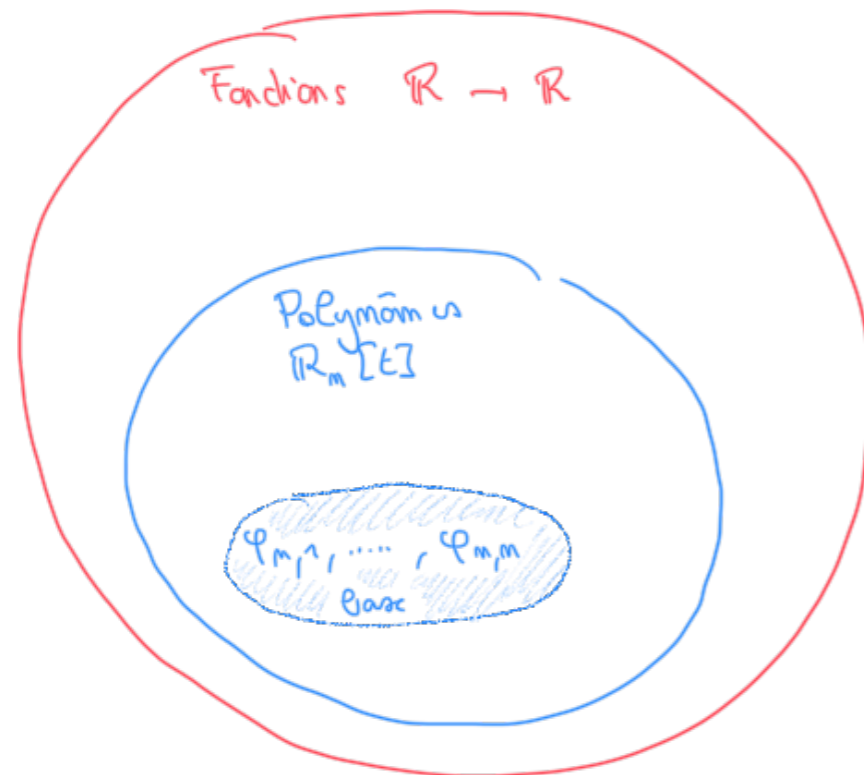
Base de Bernstein ...

$$f, g : \mathbb{R} \rightarrow \mathbb{R}$$



$$f \otimes g : \mathbb{R}^2 \rightarrow \mathbb{R}$$

$$(f \otimes g)(u, v) = f(u)g(v)$$



↓

Courbes (Béziens)

$$g(t) = \sum_{i=0}^m \varphi_{m,i}(t) \cdot P_i$$

Surfaces paramétriques

$$f : \mathbb{R}^2 \rightarrow \mathbb{R}$$

$$f(u, v) = \sum_i f_i(u, v) \cdot P_i$$

# « MODÉLISATION GÉOMÉTRIQUE » - MODÈLES PARAMÉTRIQUES

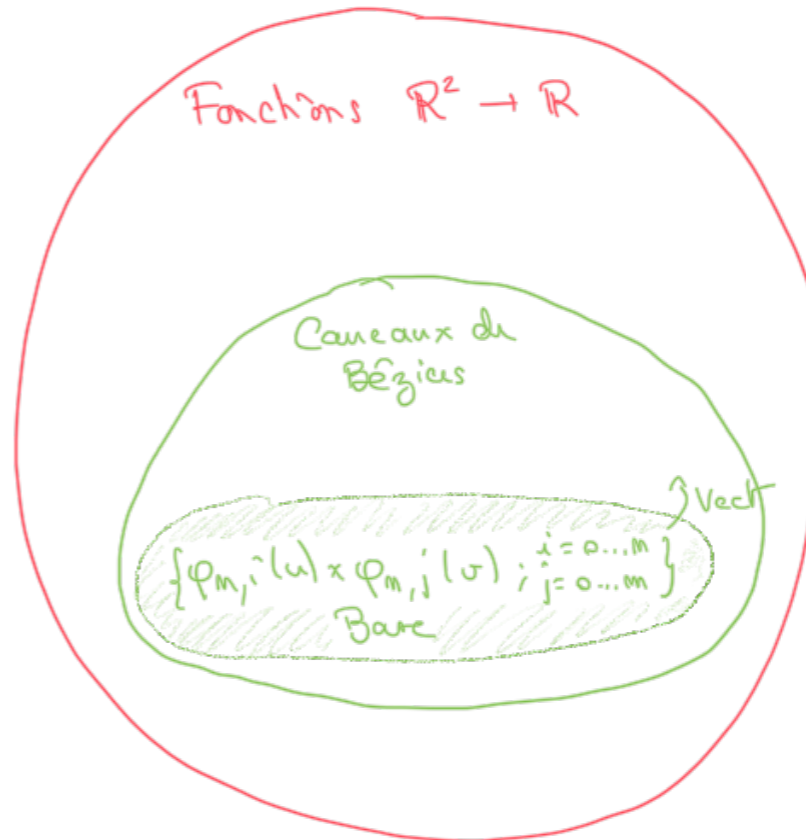
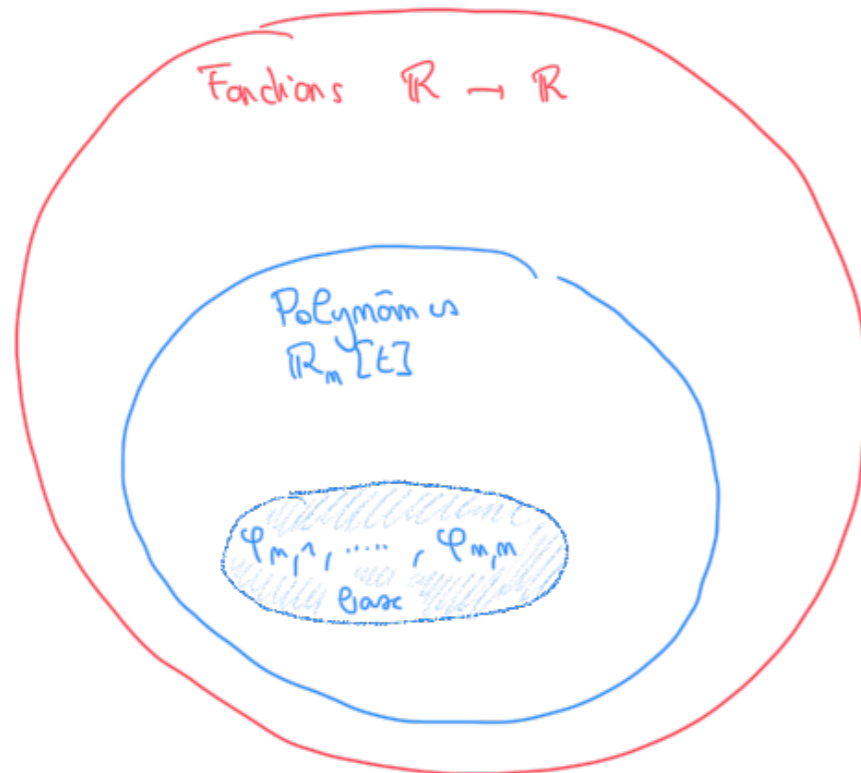
Base de Bernstein ...

$$f, g : \mathbb{R} \rightarrow \mathbb{R}$$



$$f \otimes g : \mathbb{R}^2 \rightarrow \mathbb{R}$$

$$(f \otimes g)(u, v) = f(u)g(v)$$



Courbes (Bézier)

$$f(t) = \sum_{i=0}^m \varphi_{m,i}(t) \cdot P_i$$

Surfaces paramétriques

$$f : \mathbb{R}^2 \rightarrow \mathbb{R}$$

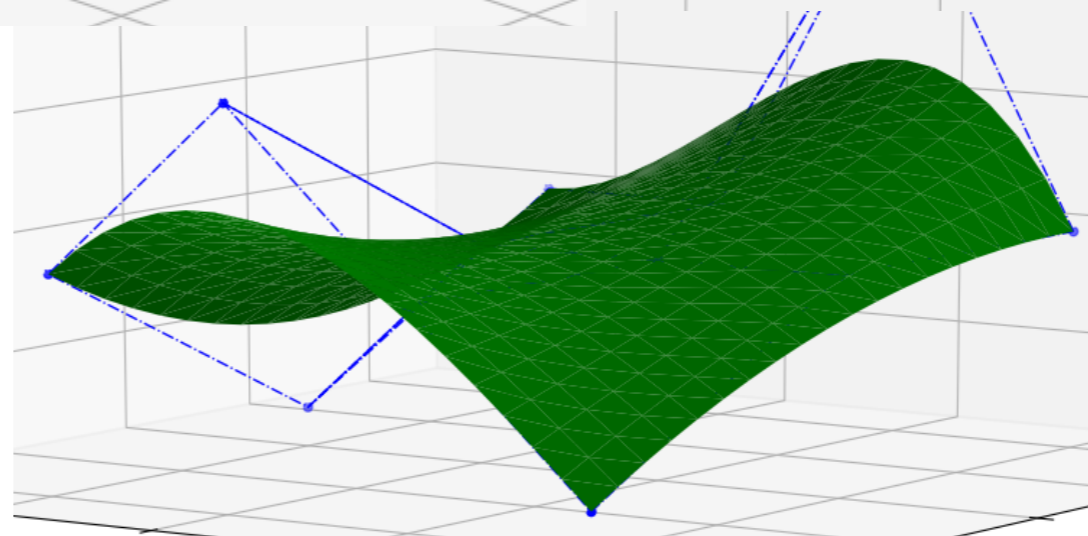
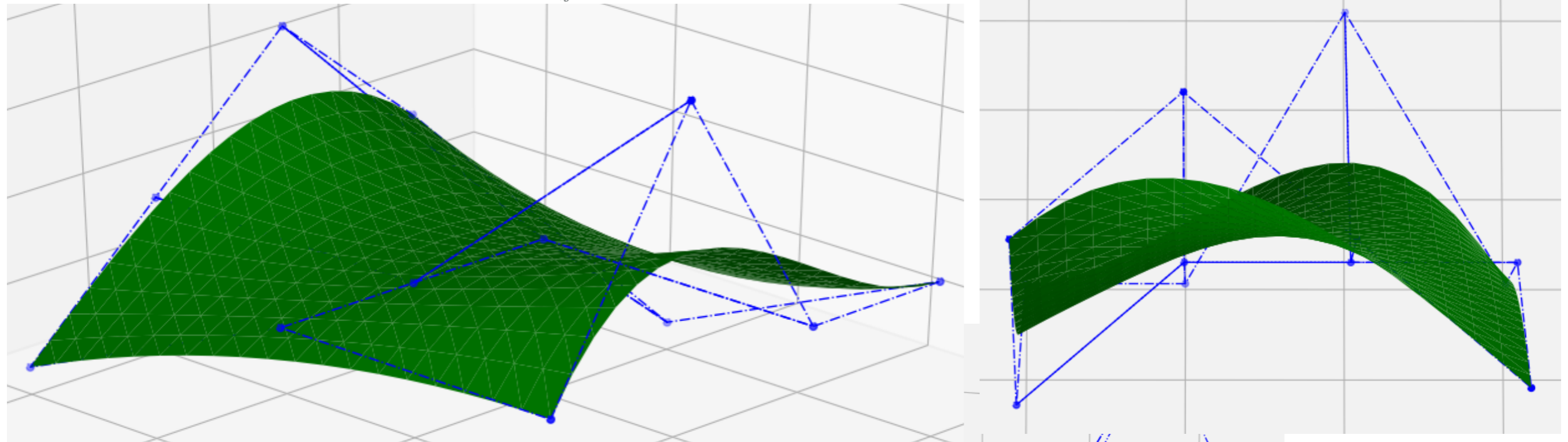
$$f(u, v) = \sum_{i,j} \varphi_{n,i}(u) \varphi_{m,j}(v) \cdot P_{i,j}$$

# CARREAUX DE BÉZIERS

Surface produit tensoriel - carreaux de Béziers

$$f(u, v) = \sum_{i,j} \varphi_{n,i}(u) \varphi_{m,j}(v) \cdot P_{i,j}$$

polygone de contrôle



```
conda install -c orbingol geomdl
```

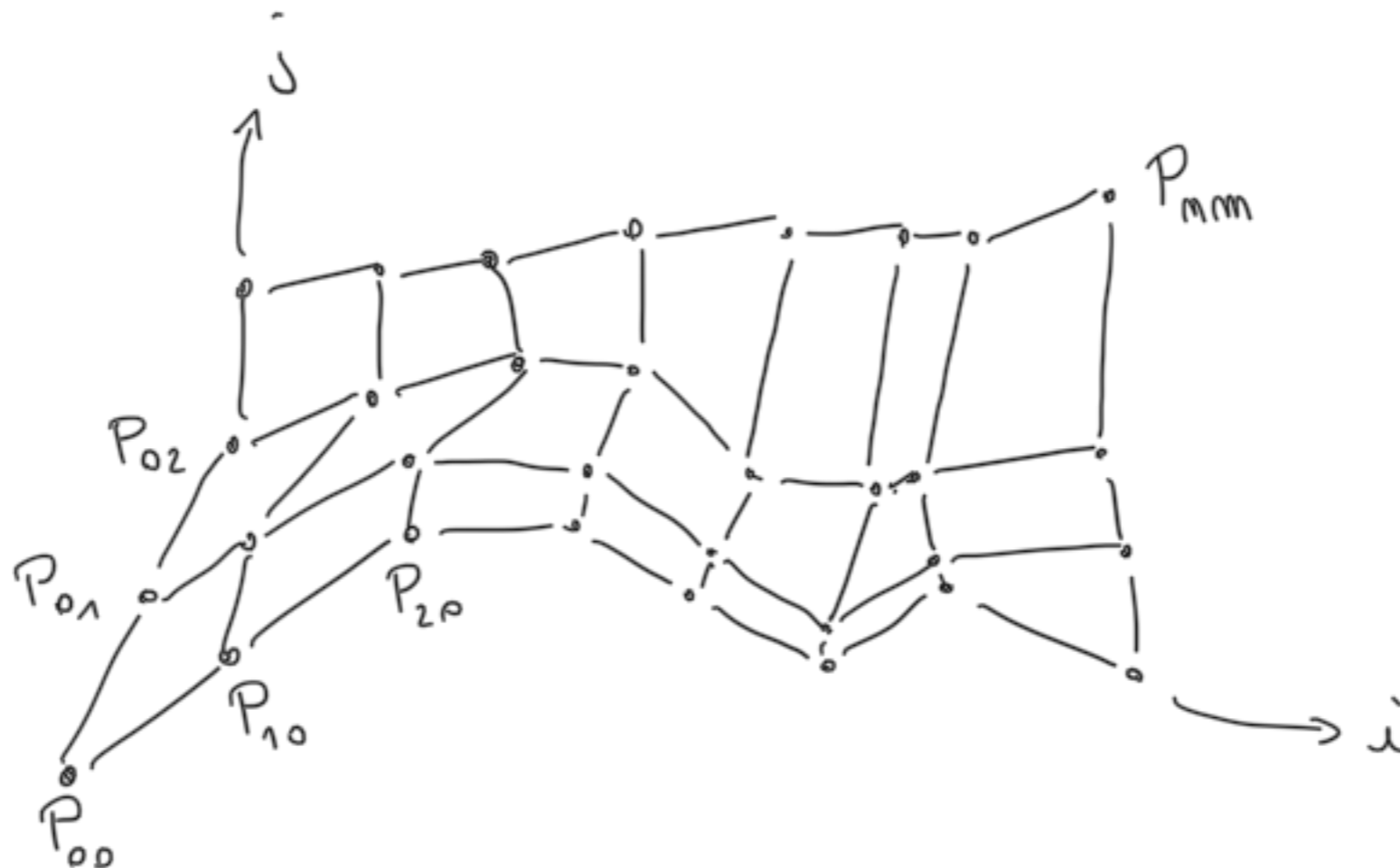


# CARREAUX DE BÉZIERS

Surface produit tensoriel - carreaux de Béziérs

$$f(u, v) = \sum_{i,j} \varphi_{n,i}(u) \varphi_{m,j}(v) \cdot P_{i,j}$$

polygone de contrôle

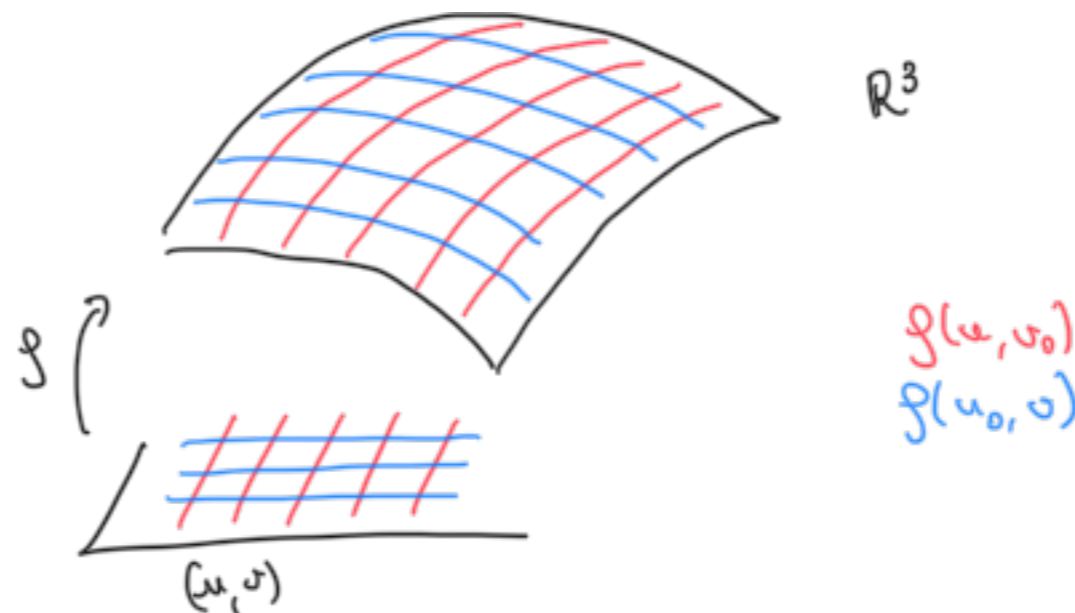


# CARREAUX DE BÉZIERS

Surface produit tensoriel - carreaux de Béziérs

$$f(u, v) = \sum_{i,j} \varphi_{n,i}(u) \varphi_{m,j}(v) \cdot P_{i,j}$$

Courbes  
isoparamétriques



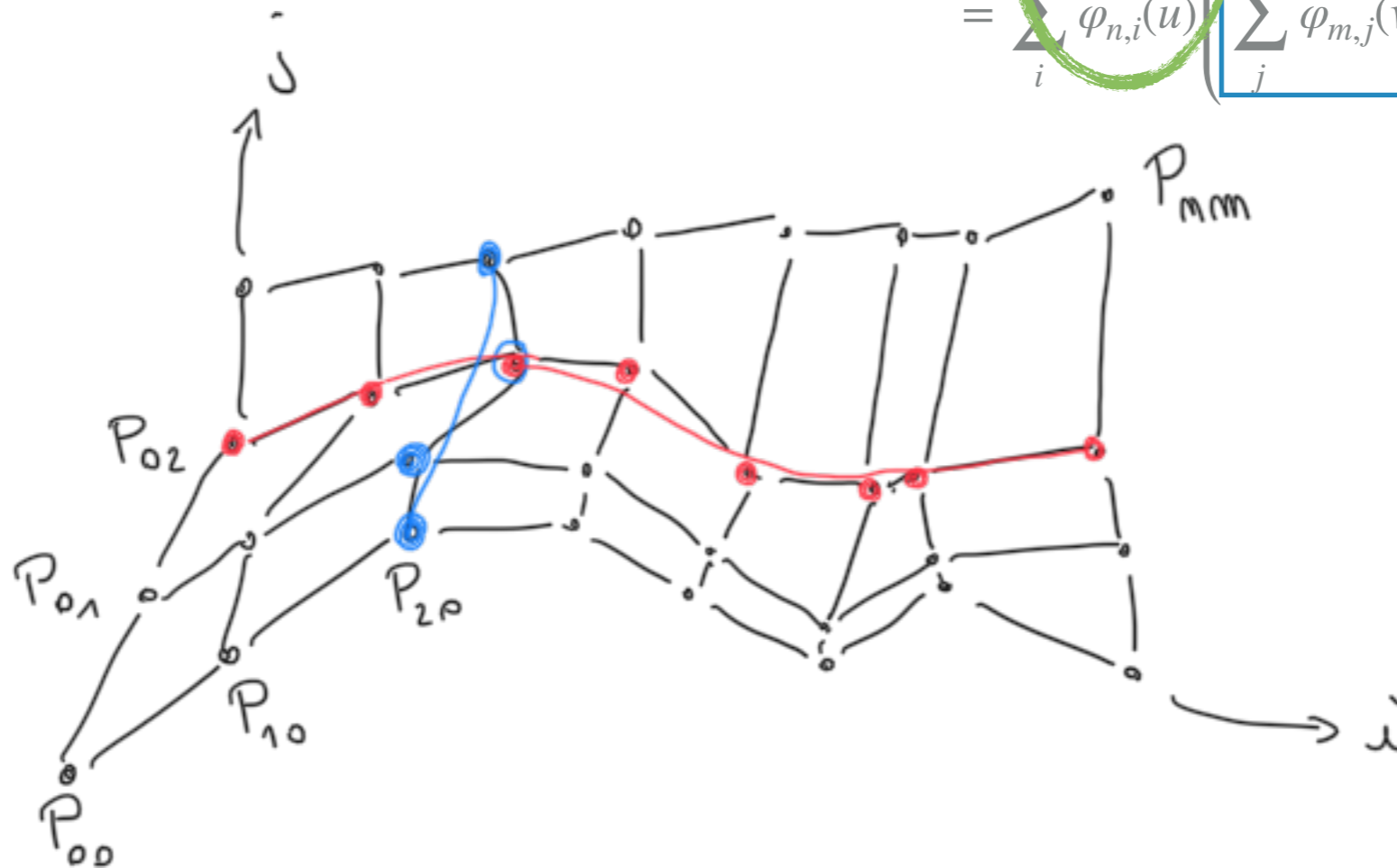
# CARREAUX DE BÉZIERS

Surface produit tensoriel - carreaux de Béziers

$$f(u, v) = \sum_{i,j} \varphi_{n,i}(u) \varphi_{m,j}(v) \cdot P_{i,j}$$

polygone de contrôle

$$= \sum_j \varphi_{m,j}(v) \left( \sum_i \varphi_{n,i}(u) \cdot P_{i,j} \right)$$
$$= \sum_i \varphi_{n,i}(u) \left( \sum_j \varphi_{m,j}(v) \cdot P_{i,j} \right)$$



Courbes de Bézier

↓  
Pas sur la surface !

PAS COURBES ISOPARAMÉTRIQUES

# CARREAUX DE BÉZIERS / RACCORDEMENT

